

## Noi cercetări asupra fortificațiilor de la Teliu, jud. Brașov<sup>1</sup>

### *New investigations in the fortifications from Teliu, Brașov County*

Maria-Magdalena Ștefan<sup>2</sup>

Dan Ștefan<sup>3</sup>

Dan-Lucian Buzea<sup>4</sup>

**Cuvinte cheie:** LiDAR; fortificații din epoca fierului; valuri incendiate; Hallstatt C-D; Dacia; sud-estul Transilvaniei

**Keywords:** *LiDAR; Iron Age fortifications; vitrified ramparts; Dacia; Hallstatt C-D; south-eastern Transylvania*

#### ABSTRACT

Two fortified sites were known in the vicinity of Teliu (Kreuzburg/Nyén/Keresztvár), Brașov county, since the 19th c. They were reported as located in close proximity one to another (200 m), at the foothills of Buzău Mountains - now covered in evergreen forests. Despite a long-time interest in them, including a series of excavations made during the 1960s and 1970s in Cetatea Mare (I), their full chronological attribution and function remained partially disputed. Following a series of works related to the building of a railway route along Teliu valley, during the interwar period, a stone quarry was opened right on top of Cetatea Mică (II), leading in time to its disappearance. A notorious connection with the Teuton early 13th c. fort of Cruceburg has been often explored in relation with these sites.

The current contribution is a review of previously known data in the light of more recent investigations undertaken in 2019, in the area of the two fortified sites, 45 years after their last systematic exploration. The work is based on the general interest of the authors in advancing the knowledge regarding the uncertain dating of numerous fortified places of south-eastern Transylvania, characterized by repeated occupation and scarce archaeological deposits.

A LiDAR based survey combined with a geophysical investigation (magnetic method) in Cetatea Mare allowed a better reconstruction of this site's plan and layout of fortifications, revealing a more complex design in which the fortification ditches were continued with terraces on the two main site's slopes. An additional ditch, unknown before, was identified in the northern site sector. In total, the area affected by anthropic works in Cetatea Mare can be recognized now on a 2 ha surface, while the number of enclosure lines reached five. By reopening a small part of an old trench (S XIII) we succeeded to establish correlations with the already published stratigraphic profiles and collect samples for dating with radiocarbon method. The results of these analyses combined with a critical review of the older data show that the site was repeatedly visited along the Bronze and Iron Ages for certain activities which did not left consistent traces. At least two

<sup>1</sup> Această lucrare a fost realizată cu sprijinul unui grant al Ministerului Cercetării și Inovării, CNCS-UEFISCDI, număr proiect 90/2016, PN-III-P4-ID-PCCF-2016-0090, în cadrul proiectului PNCDI III.

<sup>2</sup> Muzeul Național al Carpaților Răsăriteni, Sfântu Gheorghe, județul Covasna, m\_magdalena.stefan@yahoo.com

<sup>3</sup> Muzeul Național al Carpaților Răsăriteni, Sfântu Gheorghe, județul Covasna, danstefan00@gmail.com

<sup>4</sup> Muzeul Național al Carpaților Răsăriteni, Sfântu Gheorghe, județul Covasna, buzealuci@yahoo.com

major moments in which the site was affected by large scale levellings associated to enclosure rebuilding could be noticed, once dated in Hallstatt C-D (which could have relocated previous Schneckenberg and Wietenberg materials) and the other in the late 1st C. BC - early 1st c. AD. We date the large relief modifications affecting the entire site, based on C14 dated samples and stratigraphy, in the Augustan period, even if the main analogies for the building model are to be found in older sites in Transylvania, belonging to Hallstatt B2-C. A distinctive characteristic of the last fortification phase in Teliu Cetatea Mare was the reuse as secondary material incorporated in the core of the ramparts of a previously burnt structure of soil, stone and wood, perhaps a palisade. A radiocarbon dated sample may suggest a time in the 4th-3rd c. BC for this structure, but until additional analyses it remains just a hypothetical framing. A date anywhere between Hallstatt C and early 1st c. AD is still possible.

The LIDAR data analysis and viewsheds have also disclosed the relations of the two fortified sites with the network of local ridge routes. In this regard, both sites are more relevant for a connection with Brașov Depression and the beginning of a road linking the area of Prejmer with the inner-mountain depression of Întorsura Buzăului. This road, through Pilișca peak, was still in use in the 19th c. before the opening of the main railway traffic through Teliu Valley, by inhabitants of Prejmer area going to their mountain pastures. In the same time, it appears that the two sites were related in different ways to this road (suggesting a difference in both chronology and function): Cetatea Mică was placed in a hidden position directly on a secondary pathway climbing to the main ridge route, while Cetatea Mare was adjacent to this road, occupying a dominant position for the entire Depression.

Datorită rolului de spațiu de trecere pe care depresiunile din curbura internă a Carpaților I-au jucat de-a lungul epocilor, pe versanții ce le împrejmuiesc și în punctele de control de pe drumurile ce le leagă pe culmi, se cunosc încă din secolul al XIX-lea un număr considerabil de situri fortificate.<sup>5</sup> Locurile înalte au fost folosite intens în prima epocă a fierului, la finalul celei de-a doua epoci a fierului (sec. I a. Chr. – I p. Chr./epocă „dacică clasică”), dar și în diferitele etape ale perioadei medievale. Multe dintre aceste fortificații rămân în continuare neclar datate chiar dacă au atras atenția cercetătorilor în mod repetat. Ca explicație se poate invoca, desigur, caracterul în general restrâns al săpăturilor arheologice din aceste locuri greu accesibile și publicarea lor nedetaliată, dar mai degrabă ar trebui luate în considerare anumite caracteristici ale acestor situri ce fac ca metodele clasice de investigare să furnizeze rezultate limitate, în special în ceea ce privește cronologia elementelor de fortificare. Structurile defensive bazate pe valuri și șanțuri, dar chiar și zidurile din piatră nelegate cu mortar, nu sunt specifice unei anume epoci. În plus, majoritatea

locurilor întărite au fost folosite repetat, pe parcursul mai multor perioade, iar eventualele materiale descoperite în incinte nu datează automat elementele de fortificare, cel puțin nu în lipsa unor relații stratigrafice coerente și bine documentate. Cel mai adesea, însă, ocupările antropice ale unor puncte aflate la înălțime, în condiții de eroziune sporită, de exemplu, cele cu scop militar și funcționare de scurtă durată ori cele așa-zise de refugiu, nici nu furnizează material, decât accidental, și nu produc depuneri, dar pot presupune nivelări ale straturilor anterioare și construcții noi cu materiale vechi.

Un astfel de caz este cel al incintelor de pământ „wallburgen” din apropierea localității brașovene Teliu (în maghiară Keresztvár/Nyén, în germană Kreuzburg/Thell), aflate la începutul unui important drum ce urcă din Țara Bârsei spre Munții Buzăului, cunoscute și menționate în literatură încă din secolul al XIX-lea.<sup>6</sup> Denumite *Cetatea Mare* (*Nagy-Várhegy/Cetatea I/Cetățea*) și *Cetatea Mică* (*Kis-Várhegy/Cetatea II*), aceasta din urmă dispărută, cel mai probabil încă de la mijlocul secolului trecut, au fost considerate fie medievale -

<sup>5</sup> Cavruc 1998; Costea 1995; Ștefan, Ștefan, Buzea 2015.

<sup>6</sup> Orbán 1873, VI, 65.

creație a cavalerilor teutoni<sup>7</sup>, dar și slave<sup>8</sup> ori maghiare (de epocă arpadiană) suprapuse peste locuiri preistorice.<sup>9</sup> Cei care au efectuat săpături arheologice sistematice în *Cetatea Mare* au considerat-o dacică, suprapusă peste o locuire anterioară Schneckenberg.<sup>10</sup> Deși săpăturile de aici din anii 1960–1970 au scos la iveală ceramică aparținând mai multor perioade: neolitic (un vas miniatURAL întreg), eneolitic (un fragment de buză decorată cu șnurul, un fragment de ceramică cu scoică pisată în pastă), bronz timpuriu (numeroase fragmente ceramice Schneckenberg), bronz mijlociu (câteva fragmente Wietenberg și Monteoru), prima epocă a fierului (două fragmente ceramice), epocă dacică clasică (majoritatea), epocă medievală (un fragment ceramic),<sup>11</sup> nu s-au descoperit, de fapt, elemente clare de datare pentru valuri, dar nici complexe de locuire ori alte tipuri de amenajări în interiorul incintelor. Când au fost, așadar, construite cele două cetăți? De ce două și atât de aproape una de alta și ce se poate spune despre funcționalitatea acestor situri în condițiile unei presupuse lipse a vestigiilor în interior?

### Obiectivele cercetării

Prezentul studiu urmărește, pe fond, atragerea atenției asupra problematicei datărilor insuficient argumentate ori cunoscute atribuite fortificațiilor din estul și sud-estul Transilvaniei, care ar putea beneficia considerabil de pe urma unor datări prin metoda radiocarbon. Iar în plan concret, imediat, obiectivul a fost de a sistematiza și actualiza datele disponibile despre siturile fortificate de la Teliu, la 45 de ani la ultimele cercetări. Aceste situri, indiferent de cronologia ce li s-ar putea

atribui, pot contribui la înțelegerea modului în care s-a realizat circulația istorică peste munți, în sectorul de legătură dintre Țara Bârsei și Întorsura Buzăului.

Beneficiind de o investigație LiDAR<sup>12</sup> a masivului împădurit *Pilișca*, în care se află siturile menționate, de cercetări geofizice ale valurilor cu urme de ardere intensă ale *Cetății Mari*, precum și de datări AMS<sup>13</sup> ale unor probe din structura acestora, autorii reevaluează în mod critic datele furnizate de săpăturile anterioare. Se discută totodată logica rețelei locale de drumuri ce funcționau înainte de momentul deschiderii traficului pe Valea Teliului, la a cărei decodificare datele LIDAR au avut un rol important, dar și despre semnificația descoperirilor de epocă dacică din Țara Bârsei în contextul regional mai larg al transformărilor socio-politice ce au loc în Dacia preromană începând cu perioada augusteică.

### Localizare

Cele două situri fortificate, formate fiecare ca o înșiruire alungită de înguste platouri stâncoase,<sup>14</sup> separate unele de altele prin șanțuri și valuri, uneori duble, s-au aflat la un moment dat la depărtare de mai puțin de 200 m unul de celălalt, de o parte și de alta a *Văii Cetății (Várpatok)*, chiar deasupra locului în care acest pârâu se varsă, venind din nord, în valea Teliului (Nyién) (Fig. 1, 2). *Cetatea Mare*, formată din trei platouri fortificate, aliniată în ordine crescătoare a suprafeței de la nord la sud, ocupă poziția dominantă pe un pinden desprins din piemontul Munților Buzăului, la altitudinea maximă de 680 m (cu 90 m deasupra văii), în timp ce pândanta (spre est) *Cetate Mică* nu depășea

<sup>7</sup> Orbán 1873, VI, 65; Marțian 1909, 340; Marțian (1921, 45)

<sup>8</sup> Horwath 1944, 36-38.

<sup>9</sup> Karczag, Szabó 2012, 250-251.

<sup>10</sup> Alexandrescu, Pop 1989.

<sup>11</sup> Alexandrescu, Pop 1989, 16

<sup>12</sup> Zborul a fost realizat în iulie 2019.

<sup>13</sup> Analizele au fost realizate la IFIN-HH Măgurele în laboratorul RoAMS, în toamna anului 2019, de către Radu Mihai și Tiberiu Sava.

<sup>14</sup> Orbán desenează câte trei pentru fiecare cetate (fig. 1d în acest articol)

altitudinea de 625 m.<sup>15</sup> Confluența amintită se află la aproximativ 1.6 km est de marginea depresiunii și la 6 km est de localitatea istorică Prejmer (Tartlau) fondată în secolul al XII-lea<sup>16</sup> (Fig. 1e, f; 3a).

Dacă amplasamentul *Cetății Mari* (I) este confirmat de vestigiile din teren și de datele LiDAR, localizarea *Cetății Mici* se poate face astăzi doar ținând cont de schițele mai vechi ale siturilor (Fig. 1d) care le plasează unul lângă celălalt, cu orientare similară (N-S), precum și de informațiile că *Cetatea Mică* (*Cetatea II*) ar fi fost distrusă de o carieră de piatră – care cel puțin la momentul vizitei lui Walter Horwath<sup>17</sup> (cca. 1940) îi afectase doar sectorul sudic (Fig. 1b). La data la care A. D. Alexandrescu și I. Pop sapă *Cetatea Mare* (1960-1970), din *Cetatea Mică* nu mai reușeau să identifice nici o urmă.

Amprentele mai multor exploatări de piatră, astăzi abandonate și complet împădurite, se recunosc cu ușurință pe datele LiDAR, pe ambele maluri ale *Văii Cetății*, inclusiv pe malul opus, al apei Teliului (A în Fig. 5). Acestea pot fi puse în legătură cu activitățile de amenajare a căii ferate Brașov – Întorsura Buzăului și construcției tunelului de pe Valea Teliului în perioada 1924-1929. Scopul inițial al acestei căi ferate a fost acela de a facilita transportul lemnului. Cariera de pe malul stâng (estic) al *Văii Cetății* măsoară 115 m (NS) x 140 m (EV), putând așadar să consume un sit de dimensiuni apropiate.

Orbán<sup>18</sup>, la finele secolului al XIX-lea, desena pe malul stâng al *Văii Cetății* o cetate formată din trei sectoare numerotate de la sud la nord cu C, B și A, fortificate suplimentar la nord de A cu alte două șanțuri (adânci de 30 de picioare)

aflate cu cca 50 de picioare mai sus decât restul terenului (Fig. 1d). Marțian<sup>19</sup>, în 1921, menționa „urme de fortificații, care au constat din două părți situate lângă olaltă. În partea dinspre nord se pot deosebi la suprafața solului temeliile unei incinte de formă eliptică care măsoară în circumferință 75 m, iar în partea dinspre sud se văd urmele unui zid semicircular pe o lungime de 60 m. Aceste fortificații sînt prevăzute (...) la bază cu șanțuri adînci și resturile zidurilor prezintă construcția legată cu var”. Ulterior, peste două decenii, timp în care se desfășoară construcția căii ferate și tunelului, Horwath (1944) nu mai găsește decât o singură incintă, cea nordică și niciun material (Fig. 1b).

Datele LiDAR nu au mai evidențiat aici urme clare de fortificații, de exemplu ale celor două șanțuri nordice – descrise de Orbán și Marțian ca având 10 m adâncime<sup>20</sup>, și desenate de Horwath ca măsurând 10 m lățime și 1-2 m adâncime.<sup>21</sup> O anomalie semicirculară, adâncă de 1-2 m, cu lățime variabilă (6-8 m) se individualizează în partea de nord a carierei pe un traseu de cca 100 m (Fig. 4a-b). Faptul că traseul ei este caracterizat de o importantă diferență de nivel E-V (30 m) de la un capăt la celălalt, ne face însă să avem dubii asupra interpretării ei ca lucrare antropică.

Având în vedere că pantele stângi (vestice) ale *Văii Cetății* sunt brăzdate de torenți și de drumuri vechi (Fig. 1c; 3b-d) ce urcă spre Pilișca, nu este exclus ca anomalia respectivă să fie doar o astfel de urmă, fără implicații defensive. Nu am verificat această anomalie în teren.

<sup>15</sup> Calculată ipotetic prin reconstituirea unei pante naturale în zona carierei.

<sup>16</sup> Ioniță 2013, 122-123

<sup>17</sup> Horwath 1944, 36-38, fig. 19-20. Alexandrescu 1973, 49-50.

<sup>18</sup> Orbán 1873, VI, 65.

<sup>19</sup> Marțian 1921, 45, fig. 28

<sup>20</sup> Marțian 1921, 45

<sup>21</sup> Horwath 1944, 36-38

### Istoricul cercetărilor și al interpretărilor

Balázs Orbán (1873) descrie cu numeroase detalii cele două cetăți, publicând totodată și un plan idealizat, dar sugestiv, al acestora. Datorită păstrării în dialectul sașilor a denumirii localității Teliu ca Kretzbirg, Orbán considera vestigiile celor două ansambluri de incinte fortificate, în special pe cea mare, ca reprezentând urmele faimoasei cetăți Cruceburg<sup>22</sup> construită de cavalerii teutoni în perioada 1211–1221 și recuperată de regalitatea maghiară în 1225. Această interpretare bazată pe tradiții toponimice nu era nouă, ea fiind formulată încă din secolul al XVIII-lea de istorici ca Draudt și Schlözer.<sup>23</sup>

Tot Orbán amintește ca informații relevante faptul că pe ambele maluri ale *Pârâului Cetății*, numite fiecare – *Várhegy* (*Vârful Cetății*), pe atunci neîmpădurite, se văd ruine și urme de drumuri vechi, că accesul în *Cetatea Mare* se făcea pe la nord, valorile lipsind în sectorul sudic, dar și că pe suprafața sitului se vedeau resturile pietrelor arse ce dovedeau distrugerea sitului printr-un incendiu.<sup>24</sup> Legenda locală privind geneza acestor vestigii, consemnată de Orbán, este deosebit de interesantă: cetățile ar fi fost construite de uriași care doreau să facă un pod între ele, peste vale, cu ajutorul diavolului. Dumnezeu a intervenit și a lovit cu fulgerul *Cetatea Mare*. Din aceste credințe populare ni se par importante de reținut următoarele elemente: 1 - doar *Cetatea Mare* avea urme de arsură, 2 - acestea se vedeau la suprafață din vechime și au fost suficient de neobișnuite pentru a necesita găsirea unei explicații fantastice populare, 3 – siturile nu au fost folosite în

perioada mai recentă a evului mediu, neexistând despre ele altă memorie decât a unor ruine.

Marțian publică și el o schiță a celor două cetăți.<sup>25</sup> El le consideră mai vechi – „din antichitate” și doar refolosite de cavalerii teutoni, deși afirmă că acestea nu corespundeau întocmai scopului urmărit de cavaleri, deoarece, prin pozițiile ocupate, cele două întărituri doar ar fi blocat accesul din Țara Bârsei spre Buzău, pe când cavalerii erau interesați să blocheze accesul în sens invers, pentru a opri atacurile cumanilor dinspre munte în Țara Bârsei.<sup>26</sup>

Studiind configurația terenului și traseul drumurilor așa cum le dezvăluie cuprinzător datele LiDAR (Fig. 2a; 3, 4, 5), dar și hărțile topografice austriece (Fig. 1f, 3a), nu putem decât să-i dăm dreptate lui Marțian. Cele două cetăți de la Teliu, mai ales *Cetatea II*, sunt poziționate la începutul drumurilor ce urcă până la *Pilișca* și de acolo spre răsărit, pe culmi, ajung în zona Brădet a Întorsurii Buzăului. Aria de vizibilitate<sup>27</sup> a *Cetății Mari* (maximă de pe platoul sudic) este concentrată pe depresiune, pe culoarul Brașov-Lempes, dar și pe drumul de culme ce ajunge în punctul nodal care este vârful *Pilișca* (Fig. 4c-d). Aria de vizibilitate a *Cetății II*, calculată din punctul cel mai înalt păstrat al zonei distruse de carieră, este și mai restrânsă spre nord, fiind de asemenea concentrată pe culoarul de acces dinspre depresiune și parțial către malul opus la văii Teliului (Fig. 4c-d/hașură). Pentru a bloca invazii dinspre sud și est trebuia acționat în pas,

<sup>22</sup> DIR-C: 183, 187

<sup>23</sup> Binder 1967, 125, cu bibliografie

<sup>24</sup> Orbán 1873, VI, 65

<sup>25</sup> Marțian 1921, fig. 28

<sup>26</sup> Marțian 1921, 45.

<sup>27</sup> Atât Orbán cât și Marțian descriu culmile muntoase ocupate de situri ca neacoperite de vegetație, în timp ce Alexandrescu și Pop (1989, 10) amintesc de săpăturile în *Cetatea Mare* ca fiind realizate pe „botul de deal plantat cu rășinoase”.

sus pe munte.<sup>28</sup> În zona pășunilor alpine din Munții Buzăului plasează și Binder<sup>29</sup> Cruceburgul, chiar dacă acesta nu trebuie identificat cu ruinele de la Tabla Buții cum afirmă el,<sup>30</sup> situl din Pasul Buzăului datându-se abia începând cu secolul XIV.<sup>31</sup>

Turnul de formă „patrunghiulară, construit din pietrii legate cu var, care măsoară în circumferență 50 m” raportat de Marțian la nord de cele două cetăți „pe culmea proximalului deal” nu a fost identificat pentru moment pe datele LiDAR atât cât ne-au fost nouă disponibile în acest stadiu al cercetării. Există unele ipoteze susținute de anomalii identificate pe modelul digital al terenului, dar acestea necesită verificare în teren pentru clarificări.

Forma neobișnuită a incintei B a *Cetății Mici (II)* la Orbán, în componența căreia atât el cât și Marțian amintesc ziduri din pietre legate cu var (la Marțian un semicerc de 60 m lungime), dar care va fi distrusă înainte ca Horwarth să viziteze locul (el mai documentează doar a treia incintă, cea nordică, dublată pe exterior de un șanț dublu), sugerează, cel puțin pentru acest segment, o datare în perioada medievală, așa cum crede și A. D. Alexandrescu.<sup>32</sup> Când anume în perioada medievală nu se poate stabili, cu argumentul că poziția recomandă că cetatea

ar fi funcționat în legătură cu interesul de a controla drumul ce pleca din Țara Bârsei spre Întorsură (ținând cont de vizibilitate și caracteristicile strategice și morfologice ale terenului, atât cel pe care a fost amplasată, cât și cel înconjurător). Câteva indicii ne fac să înclinăm în plus spre o datare diferențiată a celor două cetăți de la Teliu: 1. – relația spațială față de drumul spre Pilișca: *Cetatea II* este chiar pe drum, la începutul lui, cu control efectiv asupra urcării, în plus ocupă o poziție ascunsă, cu o vizibilitate redusă, pe când *Cetatea I* este adiacentă drumului care o înconjură pe la nord și urca dinspre vest – un model pe care îl recunoaștem în preistorie – ocupând punctul dominant la marginea depresivii; 2 - doar despre *Cetatea I* avem informații că ar fi fost arsă, pe când în *Cetatea II* ni se menționează un zid de piatră legată cu var.

### Rezultatele săpăturilor din anii 1960–1970 în *Cetatea I*

A. D. Alexandrescu (Institutul de Arheologie din București) și Ioan I. Pop (Muzeul Județean Brașov) au efectuat cercetări în *Cetatea Mare* de la Teliu în 1961, 1963 și 1974, săpând 13 secțiuni ce au însumat o suprafață totală de 290 mp (Fig. 8). Săpăturile nu au fost acoperite și ele se mai pot încă distinge în pădure, inclusiv pe modelul digital al terenului obținut cu LiDAR (Fig. 1 c, 3b-d). De fapt, prin corelarea urmelor acestor secțiuni, vizibile pe LiDAR, cu planul publicat<sup>33</sup> s-a reușit georeferențierea acestuia și realizarea măsurătorilor. Alexandrescu și Pop au secționat în special elementele de fortificare, cu concentrare predilectă pe incinta mare, sudică, atingând în câteva puncte, dar doar parțial, și interiorul platoului. Planul publicat al cetății a fost bine realizat, mai ales în ceea ce privește amplasarea secțiunilor și relieful general, chiar

<sup>28</sup> Scrisoarea episcopului Grigore către Bela, din 26 aprilie 1231, în care îi cere înapoierea privilegiilor cavalerilor teutoni, amintește că acestora li se dăruise de către tatăl lui Bela, regele Ungariei, Andrei al-II lea, și partea din Cumania ce se află dincolo de munții cu zăpadă (*ultra montes nivium partem contulit Comanie*), unde cavalerii ridicaseră o cetate foarte întărită (*munitissimum*); acest fapt i-a speriat și supărat pe cumani pentru că prin ea li se luase posibilitatea de a mai intra și ieși din regatul Ungariei (DIR - C, 246).

<sup>29</sup> Binder 1967, 125: Denumirea de Kreuzberg a localității Teliu ar fi dată de către prejmereni cu ocazia unei relocări a vetrei satului (dinspre Budila) prin raportare la Valea Teliului denumită în secolul XV de aceștia – “valea drumului spre Cruceburg”.

<sup>30</sup> Horwarth 1929

<sup>31</sup> Căpățână et alii 2008

<sup>32</sup> Alexandrescu 1975, 50-51. A. Ioniță (2013, fig. 1) pune cetățile de la Teliu pe harta Țării Bârsei la 1211.

<sup>33</sup> Alexandrescu, Pop 1989, fig. 4

dacă unele amendamente se pot aduce conturului valurilor. Pentru 9 dintre cele 13 secțiuni a fost publicat câte un profil stratigrafic general,<sup>34</sup> al unuia dintre cele două maluri, probabil cel considerat mai expresiv<sup>35</sup>, în timp ce doar pentru 2 din restul de 5 nedocumentate astfel, ni se spune că nu au furnizat date relevante (S XII – fără urme arheologice și S V). Rezultatele obținute în fiecare secțiune sunt descrise pe scurt, chiar dacă rar sunt date dimensiuni concrete.

Altimetria surprinsă de secțiunile stratigrafice publicate pare corectă, așa cum arată și studiul reliefului prin profile altimetrice al modelului digital al terenului obținut prin interpolarea datelor LiDAR (Fig. 6a-b, d), dar modalitatea de codificare grafică și prezentare simplificată a informației arheologice (datorată, credem, prelucrării pentru tipar) este adeseori confuză. De exemplu, nu se poate face o deosebire clară între simbolul folosit pentru cărbune și cel pentru ceramică la roată<sup>36</sup> – o informație ce ar fi putut fi relevantă în datarea indirectă, cel puțin *post quem* a unor valuri.

Pe profilul secțiunii S I, Valul 2 este reprezentat ca și cum ar fi fost construit cu pământul scos la săparea Șanțului 2, acesta din urmă părând umplut apoi cu partea superioară a Valului 2 scursă pe pantă, pe când în secțiunea XI, la doar 5 m spre est, Șanțul 2 apare ca umplut cu pământul scurs din baza Valului 2, ca și cum acesta a fost (re)construit mai târziu decât Șanțul 2 (Fig. 8 – profilele au fost redesenat într-o încercare de sporire a inteligibilității). Astfel de contradicții pun sub semnul întrebării coerența unora dintre observațiile

stratigrafice, dar până la noi săpături acestea rămân datele de lucru.

Nicăieri în șanțurile săpate în interiorul ori exteriorul incintelor nu se menționează gropi, vetre, depuneri de obiecte întregi/întregibile, complexe de locuire. De fapt, pe platouri, stratul cu materiale este foarte subțire, cca 30 cm. O explicație pentru lipsa unor descoperiri coerente, desigur, ar putea fi lățimea foarte mică a secțiunilor (doar 1 m) care a îngreunat observațiile. Sunt menționate doar „îngrămădiri de materiale” ori de pietre. O imagine<sup>37</sup> a unei astfel de aglomerări (SII – capătul estic) pare să descrie un aranjament circular de pietre, iar în interiorul incintei III, pe profilul secțiunii III, este redată o structură rectangulară din piatră, de 2 m lățime, și 40 cm înălțime, cu margini relativ bine delimitate, verticale<sup>38</sup>. Chiar dacă autorii nu au considerat că o pot numi zid, structura (fundația, baza unei structuri în elevație?) ar merita o cercetare mai extinsă.

Materialele de la finalul celei de-a doua epoci a fierului, databile general sec. I a. Chr. – I p. Chr., cu elemente mai relevante pentru sec. I p. Chr. au fost raportate în toate sectoarele sitului, în stratul aflat imediat sub vegetal, cantitățile cele mai semnificative fiind semnalate pe panta estică a sectorului sudic (S VI) și în zona de platou din spatele Valului 1 (în S VII), fără să fie însă descoperite în complexe (Fig. 8a). În sectorul de mijloc, cel care corespunde zonei celei mai înalte a sitului, la cota de 680 m, s-a descoperit cea mai variată succesiune de artefacte, inclusiv cele mai vechi (vasul miniatural neolitic), câteva cioburi Schneckenberg, Wietenberg, dar și dacice – toate raportate a fi fost găsite în capătul sudic al SIII, aparent în condițiile în care nu este menționată o stratigrafie acumulată în perioade diferite (lipsește un profil publicat pentru această secțiune).

<sup>34</sup> Alexandrescu, Pop 1989, 24-26, fig. 5-7

<sup>35</sup> La redeschiderea secțiunii XIII, în august 2019, am constatat că de la o anumită adâncime, corespunzătoare nivelului aflat sub pământul ars, aceasta s-a îngustat, ceea ce înseamnă că spre arheologii au săpat doar pe lângă profilul estic, cel care a ajuns să și fie desenat și publicat.

<sup>36</sup> Alexandrescu, Pop 1989, 23.

<sup>37</sup> Alexandrescu, Pop 1989, 22, fig. 3/2

<sup>38</sup> Alexandrescu, Pop 1989, 26, fig. 7-1

### Reutilizări ale spațiului. Nivelări.

Nu întotdeauna autorii specifică cărei epoci aparțineau fragmentele ceramice găsite – nu o fac pentru secțiunile din sectorul sudic (cu excepția S II). Cu toate acestea, din cele menționate se poate deduce că ceramica Schneckenberg se concentrează preponderent în zona nordică a sitului, iar pe platoul sudic, doar pe panta și în capătul vestic al secțiunii II, mult sub platou. Datele LiDAR au arătat că exact această zonă este conectată, pe o micro-culme, cu o cale de acces ce leagă situl cu depresiunea aflată spre vest (C în Fig. 5). Și în secțiunile IX și X din sectorul de mijloc, respectiv de nord al sitului, fragmentele Schneckenberg sunt raportate tot în poziții coborâte, la baza pantelor (Fig. 8a). Este acest fapt un indiciu al unei nivelări/intervenții mai târzii pe platou în urma căreia s-a aruncat solul cu ceramică Schneckenberg pe pante? Doar așa ne putem explica de ce depunerea ar fi mai groasă pe pante (și nu pe platou), în condițiile în care valurile de pe margine sunt raportate în general a nu conține materiale, iar pe pante eroziunea este oricum în mod natural mai mare decât pe platou.

Când s-ar fi petrecut această nivelare? Este dificil de răspuns. Este foarte posibil să fie cel puțin două astfel de momente – așa cum ne este reprezentată situația de pe panta vestică a profilului S IX (Fig. 8n) – unde sunt desenate două straturi, cel de la bază descris ca livrând materiale Schneckenberg. De asemenea, tot pentru panta vestică a sitului, dar mai la sud, în S II (Fig. 8p), este amintită aceeași succesiune de straturi pe pantă – cu materiale dacice în primii 30 cm și Schneckenberg la adâncime mai mare, -0.70 cm. În capătul opus al secțiunii II, în zona platoului, stratul cu materiale Schneckenberg este descris ca aflându-se sub lentila de pământ ars ce intră în acest punct în componența valului.

### Palisade arse

În componența Valului 1, cel ce împrejmuiește platoul sudic, a fost semnalată în toate secțiunile care l-au intersectat o depunere consistentă de pământ ars la roșu, pe alocuri amestecat cu piatră arsă. Aceasta a fost interpretată de Alexandrescu și Pop ca reprezentând resturile unei palisade incendiate aflate inițial în partea superioară a valului de pământ, considerată dovadă a finalului violent al sitului petrecut cândva pe parcursul secolului I p. Chr. (în cadrul unui eveniment dramatic mai larg așa cum ar sugera datele de închidere a diferitelor tezaure din zonă) sau, mai probabil, consideră autorii, chiar în timpul războaielor de cucerire a Daciei.<sup>39</sup>

Alexandrescu și Pop au reprezentat valul secționat prin S XIII ca fiind aproape complet compus din pământ ars – desenat ca o hemisferă de 4 m lățime și 80 cm grosime/înălțime, cu baza orizontalizată, ce corespunde nivelului de săpare a Șanțului 1 (Fig. 11b). În S XI, „arsura” a fost desenată doar ca un strat oblic, de 2.7 m lungime și 40 cm grosime, aflat pe panta interioară valului, în partea superioară a acestuia, valul fiind suprapus de ultimul strat cu materiale din sit (Fig. 8n). În S I sunt desenate două zone distincte de pământ ars, una la baza valului și alta ceva mai sus în elevația sa, cele două depozite fiind separate de pământ nears (Fig. 8m). Pe latura estică a platoului, în S VII, arsura a fost reprezentată oblic pe panta exterioară a valului, parțial la baza lui, pe o lungime de 2.9 m, având o grosime de 30 cm. Un strat de pământ nears este clar vizibil deus peste pământul ars din S VII (Fig. 8l), același cu cel reprezentat în partea superioară a valului păstrat în acest sector (deci suprapunerea nu ar fi doar rezultatul unei scurgeri pe pantă, ci un strat din componența valului). Și pe latura de vest a platoului sudic pământul ars din

<sup>39</sup> Alexandrescu, Pop 1989, 16.

componenta Valului 1 (reprezentată pe o lungime 2.2 m – incomplet dezvelită, 45 cm grosime) pare a se afla tot la baza lui, val ce este suprapus, de asemenea, aici, de ultimul strat cu materiale din sit (Fig. 8p).

Impresia generală, bazată pe documentația stratigrafică mai veche, pare a fi aceea că pământul ars a fost încorporat la o dată ulterioară producerii incendiului în construcția Valului 1 al *Cetății Mari*, aflându-se în general la baza lui, dar nu numai (de ex. pe latura nordică a platoului sudic apare și pe pantele interioare), fiind suprapus sau înconjurat de alt pământ (nears) de construcție, și că există cel puțin un nivel de ocupare a sitului, ultimul vizibil stratigrafic, ce continuă în interior și suprapune acest val (de ex. în S II). Fragmente ceramice databile în general în perioada secolelor I a. Chr.-I p. Chr. au fost descoperite în acest strat (Fig. 8c-î). Fragmentele de imitații locale de *kantharoi* la roată (Fig. 8c) îi îndeamnă în mod corect pe autorii săpăturilor să încline mai mult spre o datare în secolul I p. Chr. Tot către această dată înclină balanța și fragmentele de vase borcan lucrate cu mâna cu guri puternic evazate (Fig. 8i-î, 12d-e).

Această modalitate de citire stratigrafică ar indica existența a cel puțin trei momente diferite în viața fortificațiilor platoului sudic, succesiune în care palisada arsă ar fi cea mai veche. Indicii pentru reutilizări în etape distincte ale acestei linii de fortificare găsim și în modul de umplere al Șanțului 2, așa cum a fost el desenat în S I (Fig. 8m): după o primă umplere a acestuia, s-a realizat o intervenție în această umplutură, o curățare prin adâncire, care apoi s-a umplut și ea. Altfel nu ne explicăm pantele foarte oblice ale tăieturii. Umplutura cea mai recentă a Șanțului 2 din S I, în care se descrie umplutura cea mai recentă a Șanțului 2, conține și ea lentile de pământ ars („pete de arsură și cărbune”)<sup>40</sup>.

### Săpăturile din 2019 în Valul 1

Sondajul executat în august 2019 în S XIII (2.5 m NS x 1 m EV)<sup>41</sup> a avut ca principal scop obținerea de probe pentru datarea prin metoda radiocarbon; cu acest prilej s-au făcut și câteva observații cu valoare stratigrafică și arheologică (Fig. 9, 10). Astfel, s-a observat pe profilul estic al vechii secțiuni că depunerea de pământ ars nu prezintă elemente de difuzare treptată a căldurii, delimitându-se în partea inferioară, net, pe o linie orizontală fermă și uniformă, de stratul de sol gălbui foarte compact, amestecat cu rari pigmenti de lemn ars, aflat dedesubt pe o grosime de 25 cm (Fig. 10, 11). Cu excepția unei lentile (4-5 cm grosime, 30 cm lungime) aflate la baza sa, pământul ars la roșu nu a conținut cenușă sau cărbune (Fig. 10c). Acesta s-a conturat ca o masă nelegată de sol portocaliu-cafeniu, fărâmițos, amestecat cu foarte multă piatră mărunțită, majoritatea arsă, dar și nearsă. Lespezi mai mari, plate (gresie) nearse, se aflau grupate în partea sa superioară, fără a forma vreo structură coerentă.

Aceste detalii sunt pentru noi argumente ce susțin ipoteza că pământul ars din componenta Valului 1 nu se află în poziție primară. Ne gândim la posibilitatea în care structura inițială arsă, aflată într-o poziție apropiată, a fost curățată și înglobată într-un val mai nou. Pe de altă parte, conținutul ridicat de stâncă fărâmițată din această depunere de sol ars, ne sugerează că materialul a provenit totuși de la o excavare petrecută în roca sitului, nu departe, poate a unui șanț.

### Nivelul de amenajare a Valului 1

Redeschiderea bazei profilului estic al SXIII lea s-a petrecut în încercarea de a obține indicii cronologice mai clare pentru fortificație, pentru că din documentația veche știam că la baza Valului 1 din această

<sup>40</sup> Alexandrescu, Pop 1989, p. 11.

<sup>41</sup> La 25 cm est de linia profilului din 1974.

secțiune se afla „o lentilă de cărbune” pe care din descrieri și desen am considerat-o potrivită pentru a fi datată prin metoda radiocarbon (Fig. 11).

Coroborând descrierile și desenele publicate de A. D. Alexandrescu și I. Pop pentru S I, S XI și S XIII, putem deduce că pe un segment de cel puțin 10 m lungime din traseul Valului interior (Valul 1) de pe latura nordică a platoului sudic, la baza lui, a existat un strat subțire de 2-3 cm, ca o lentilă, de lemn ars (cărbune spun autorii), care se întindea pe direcția N-S pe suprafețe variabile, dar însemnate. În S I a fost raportată pe lățimea de 1 m, deși pe profilul prezentat lentila este mai scurtă (cca 60 cm), iar în S XIII a fost reprezentat pe cca 3.5 m ca un strat continuu. La re-deschiderea secțiunii S XIII acest strat nu a mai părut la fel de evident sau de continuu, dar a livrat din loc în loc, pe traseul liniei precizate în documentația veche, un fel de praf negricios, mai mult sau mai puțin compact amestecat cu sol (Fig. 10c). Din această lentilă, în S XIII, au fost colectate probele pentru datare prin metoda radiocarbon. În S XI nu cunoaștem lungimea exactă a lentilei, doar ni se spune că „o lentilă de cărbune, pietre, pământ ars” era vizibilă „în punctul unde începe a se ridica primul val”<sup>42</sup>. Interesant ar fi de reținut că această lentilă subțire de lemn ars, negru, este relativ orizontală și corespunde cu nivelul de săpare al Șanțului 1 (la nord de Valul 1), de asemenea, ea se afla imediat sub stratul de pământ ars la roșu în S XIII, și probabil în S XI, dar apare la baza unui strat de pământ galben (ne-ars) ce înconjură depunerea (sau depunerile, dacă ne uităm la profilul desenat) de pământ ars în S I.

Toate acestea ne fac să considerăm lentila de lemn ars ca marcând în primul rând nivelul de construcție a Valului 1, probele recoltate de aici având însă doar un ca-

racter de indiciu cronologic *post quem*, datorită încorporării foarte probabile a materialului ars anterior în valul mai nou. Este această lentilă formată din lemn ars odată cu palisada sau este un lemn ars odată cu ridicarea Valului 1 – petrecută la o dată ulterioară arderii palisadei? La această întrebare nu avem răspuns. Din această lentilă au fost colectate mai multe probe dintre care la IFIN-HH Măgurele, în laboratorul RoAMS, au fost datate probele P8 și P12. P8 se datează cu probabilitate de 95.4%, în intervalul 166 BC-27 AD, iar P12, cu aceeași probabilitate, în intervalul 398-204 BC.

### Un strat mai vechi sub Valul 1

În S XIII și în capătul estic al S II, sub nivelul de amenajare a Valului 1 (considerat ca atare deoarece este aproape perfect orizontal, corespunde cu nivelul de săpare a Șanțului 1 în S XIII, S XI, S I, și este marcat în toate aceste trei secțiuni de lentila de lemn ars) se mai poate observa reprezentat pe profilele publicate de Alexandrescu și Pop încă un strat, diferit de sterilul arheologic.

Despre stratul aflat sub arsura de la baza Valului din capătul de est al S II ni se spune că conținea materiale Schneckenberg. Sondajul din august 2019 în baza profilului estic al S XIII a pus în mod clar în evidență acest strat: de cca. 20-25 cm grosime, gălbui-cafeniu, argilos, extrem de compact, cu rari pigmenți de lemn ars, delimitat ca printr-o nivelare de valul de deasupra. Din acest strat, în sondajul din 2019, a fost extras un mic fragment ceramic (Fig. 11c) cu incizii, caracteristic epocii mijlocii a bronzului, precum și un fragment de lemn ars (P9) ce a fost datat în intervalul 800–541 BC, cu cel mai ridicat procent de probabilitate (59%) pentru partea finală a intervalului (695–541 BC).

<sup>42</sup> Alexandrescu, Pop 1989, 11

**Interpretarea datelor radiocarbon ale probelor colectate din Valul 1**

Probă	Material	Data BP (eroare)	Data cal BC 2 $\sigma$
P8	Lemn ars	2232 (35)	386– 204 cal BC (95.4%)
P9	Lemn ars	2533 (36)	800 – 727 cal BC (35.1%) 718 – 706 cal BC (1.3%) 695 – 541 cal BC (59%)
P12	Lemn ars	2043 (35)	166calBC – 27cal AD (94.4%) 42 – 47) cal AD (1%)

Tabel. 1 – Interpretarea datelor radiocarbon<sup>43</sup>

Dacă lungimea relativ mare a intervalelor cronologice determinate pentru fiecare probă în parte poate fi explicată prin aspectul curbei de calibrare în perioadele primei și celei de-a doua epoci a fierului, caracterizat de platouri, diferența de 200 de ani (ce se păstrează și pe datele BP) între probele P8 și P12, extrase din lentila de lemn ars – aflată la baza solului ars în acest caz, ridică unele probleme de interpretare. Până la noi săpături și probe date care să elucideze suplimentar succesiunea evenimentelor și să explice diferența dintre probele colectate din ceea ce pare același strat<sup>44</sup>, interpretăm informațiile disponibile în felul următor: Valul 1 a fost amenajat în epoca târzie a fierului (epocă dacică clasică), cel mai târziu la începutul secolului I p. Chr., prin înglobarea unui material ars mai vechi. Această etapă de construcție ar fi putut fi însoțită și de alte nivelări/curățări realizate pe suprafețe mai largi în sit ceea ce ar fi putut conduce la mutarea și reînglobarea unor depozite cu sol cu materiale mai vechi în structuri mai noi. Situl a fost ocupat/folosit apoi

pentru o perioadă și ulterior construcției valului, pe parcursul secolului I p. Chr. așa cum indică stratul de materiale ce continuă partea superioară a valului. Deși data determinată cu C14 pentru proba P12 este destul de largă – practic toată perioada „dacică clasică”, lipsa unor tipuri de piese specifice secolelor II–I a. Chr. printre materialele descoperite de Alexandrescu și Pop (de ex. fructiere lucrate cu mâna), precum și încadrarea rapidă a valului de un strat preponderent datat în sec. I p. Chr. ne face să luăm în considerare perioada augusteică ca fiind mai probabilă pentru încadrarea momentului construirii fortificațiilor.

Finalul sitului pe parcursul secolului I p. Chr. nu trebuie pus în legătură cu un incendiu violent. Datarea pentru structura arsă (palisadă?) ar trebui stabilită în intervalul cuprins între perioada mijlocie a Hallstatt-ului (P9) și începutul secolului I AD (P12), dar anterior momentului ridicării Valului 1. Proba 8 oferă o posibilitate de datare pentru solul ars în sec. IV–III a. Chr.<sup>45</sup>. Nu este exclusă nici situația în care în componența materialului lemnos folosit pentru arderea solului respectiv (din componența Valului 1) în perioada târzie

<sup>43</sup> Datele au fost calibrate conform Bronk Ramsey 2009

<sup>44</sup> Cea de a treia probă din lentilă trimisă spre datare cu radiocarbon s-a dovedit contaminată și deci, din păcate, nerelevantă.

<sup>45</sup> Ștefan, Ștefan 2019.

a celei de-a doua epoci a fierului (epocă dacică clasică), să fi existat „lemn vechi” refolosit.

Data în perioada Hallstatt C-D pentru stratul aflat la baza valului din perioada dacică poate fi pusă în legătură cu cele două fragmente ceramice publicate de Alexandrescu și Pop (Fig. 8b). Semnalarea materialelor din epoci anterioare (timpurie și mijlocie a bronzului) în acest strat, precum și documentarea lui predilect sub Valul 1, indică, credem noi, existența unei etape anterioare de fortificare, însoțită de alte nivelări și mutări de depozite de sol mai vechi.

### **O amenajare unitară de proporții**

În umplutura secțiunii S XIII au fost identificați câțiva bulgări compacti, de mari dimensiuni (30-40 cm diametru), de sol ars până la vitrifiere, amestecat cu stâncă fărâmițată - topită și ea în masa de sol (Fig. 12a-b). Deși bulgării nu au fost găsiți de noi *in situ*, putem presupune că au fost inițial scoși cu ocazia secționării fortificației în 1974 și aruncați înapoi în secțiune pentru a o astupa parțial. Aspectul lor puternic zgurificat sugerează că arderea s-a petrecut la temperaturi înalte și cu o cantitate considerabilă de combustibil. Valorile susceptibilității aparente în jur de  $3000 \times 10^{-6}$  SI pentru bulgări, de  $2300 \times 10^{-6}$  SI pentru solul ars și de cca  $4000 \times 10^{-6}$  SI pentru gresia arsă din componența lentilei de sol ars susțin aceeași concluzie. Din documentația existentă nu putem întrezări însă nimic ce s-ar putea preta la a fi interpretat drept urmele unui incendiu de proporții ce ar fi putut afecta întreg situl. Lentila de lemn ars aflată la baza Valului 1 este extrem de subțire, puțin consistentă, și are un caracter prea localizat, pentru a explica o astfel de ardere, în plus, ea a fost identificată și la baza unui strat de pământ ce nu era ars. În interiorul incintelor nu s-au identificat urme de ardere.

Investigațiile geofizice (magnetometrie realizată un gradiometru Bartington Grad-601 pe o suprafață totală de 2742 m<sup>2</sup>) au indicat că acest material puternic ars, intrat în componența Valului 1, a înconjurat întreg platoul sudic – pe pantele estice și vestice (la cca. 8-9 m distanță de muchia naturală a platoului și 2 m mai jos de aceasta). Traseul Valului 1 ce înglobează solul ars descrie o formă de lacrimă și închide o suprafață de cca 2000 m<sup>2</sup> (Fig. 6c, e; 7). O întrerupere (de cca. 9 m lărgime) se poate observa pe latura estică și una de 7 m lărgime în capătul sudic. Rezultatele investigației geofizice nu au pus în evidență structuri și anomalii numeroase sau evident recognoscibile, dar nici semnalul nu a fost complet liniștit. Câteva anomalii intens magnetice punctuale, pot fi identificate în interiorul incintei și ar merita explorate arheologic. Rămâne de văzut dacă ele au fost cauzate de configurația naturală a rocii aflate la mică adâncime sau au cauze antropice.

Cu adevărat remarcabil este că nu doar Valul 1 a conținut o depunere de pământ și piatră arse la temperaturi înalte, dar foarte probabil, dacă ținem cont de menționarea bulgărilor de sol vitrificat, și Valul 3 și Valul 4, sugerând în mod indirect o contemporaneitate a acestor incinte cu Valul 1 și o amenajare simultană, de proporții, a întregului sit în perioada târzie a epocii fierului (pe urmele unui sit mai vechi cu o amprentă spațială similară?) Prezența bulgărilor de sol vitrificat în valuri aflate la distanțe mari unele de altele, pe platouri sau pe pante ridică evident semne de întrebare asupra presupusului incendiu care ar fi consumat inițial o asemenea structură și nu a lăsat alte urme în sit.

Straturi de pământ ars, oblice, reprezentate de Alexandrescu și Pop în manieră asemănătoare cu cele din componența valurilor 1, 3 și 4 au mai fost reprezentate și foarte jos pe pantele sitului, în S II și S X (Fig. 80-p). În S X, dacă ținem cont de tra-

seul foarte coborât pe pantă al fortificației cu elemente arse, indicat de datele magnetice pentru latura de est a platoului sudic, putem presupune că este vorba tot de conturul unei incinte, doar că a platoului de mijloc. Acest traseu poate fi unit cu elementele arse menționate în valul 3 în S III.<sup>46</sup>

În S II, zona coborâtă pe panta vestică a platoului sudic, acolo unde apare materialul ars, poate fi interpretată, așa cum întărește și analiza LiDAR, ca limita exterioară a unei terase de cca 4 m lățime ce împrejmuiește, cu cca. 4 m mai jos, platoul superior (Fig. 5, 7). Remarcăm totodată că această terasă este, de fapt, continuarea/prelungirea pe cota de nivel a șanțului 2! Pe latura vestică această terasă barează un drum secundar de culme ce făcea legătura cu zona depresionară din vest (C în Fig. 5)

Șanțurile 1 și 2 se continuă cu „terase” și pe latura de est. Acestea sunt foarte înguste, și colmatate, fiind probabil afectate de scurgerile (sau poate chiar împingerea intenționată?) a solului pe pantă. Se observă cu mai mare dificultate. Terasa care continuă șanțul 1 se poate observa ca un contur liniar mai intens magnetic, pe datele geofizice, iar terasa ce continuă Șanțul 2 pe latura estică a platoului – pe datele LiDAR. Aceasta din urmă se pierde spre sud, în ceea ce pare o potecă de acces dinspre vale. Vizualizarea în diferite iluminări și unghiuri a modelului 3D al datelor LiDAR (Fig. 7), dar și prelucrarea datelor LiDAR<sup>47</sup> cu scopul accentuării anomaliilor (Fig. 5) sugerează cumva că și platoul central ar fi putut fi încadrat de o centură de terase ce se unesc cu șanțurile de pe culmea superioară.

Coroborarea acestor observații privind întinderea sitului, părțile lui componente

și natura incintelor, facilitate de datele geofizice și de LiDAR, cu raportul săpăturilor echipei Alexandrescu – Pop, arată în primul rând că avem de-a face cu un sit mai mare decât ceea ce s-a presupus inițial, foarte probabil rezultat al unui unic proiect de construcție ce a presupus lucrări masive de excavație și nivelare, așadar rezultatul unui efort colectiv important. Acest efort semnificativ, nu este însă susținut de prezența unui strat de cultură ori de urmele unor activități coerente în interiorul platourilor.

La șirul de incinte deja cunoscut, întins pe 200 m lungime (N-S), datele LiDAR permit identificarea a încă unui șanț, la 65 m nord de șanțul 4, ceea ce ar crește numărul sectoarelor sitului la 4 și a incintelor la 5 (Fig. 6a-b, 5 in Fig. 5). Un alt posibil șanț se vede suplimentar (dar mai puțin clar) pe datele LiDAR, la 105 m sud (în lungul pantei) de incinta sectorului 3. Secțiunea Alexandrescu, Pop X II deschisă în apropiere (la sud de presupusul șanț) nu a livrat materiale arheologice.

Dacă luăm în considerare întinderea maximă posibilă a acestor terase și informațiile privind materialele arheologice existente pe pantele sitului, putem spune că fortificațiile și terasele delimitează o suprafață de aproximativ 2 ha.

Suprafața relativ mare a sitului și modul de construcție a incintelor pare neobișnuit, chiar anacronic pentru epoca târzie a fierului în Curbura Carpaților, loc și timp în care fortificațiile erau mai restrânse ca întindere și realizate în piatră. Așa că nu putem să nu ne întrebăm dacă *Cetatea Mare* de la Teliu a avut cu adevărat un rol militar. Mai funcționau cetăți de refugiu în epoca târzie a fierului? La dimensiunile liniilor defensive, cât de numeroasă ar fi trebuit să fie garnizoana care le-a păzit?

Analogiile cele mai apropiate pentru acest tip de abordare a spațiilor fortificate înalte le găsim în siturile considerate mai

<sup>46</sup> Alexandrescu, Pop 1989, 13

<sup>47</sup> Kokalj *et alii* 2013

vechi, de la Sărățel<sup>48</sup> și Ciceu-Corabia<sup>49</sup>, ambele în județul Bistrița. La Sărățel *Dealul Cetății* a fost cercetată ceea ce a fost considerată o cetate de refugiu cu un strat subțire de cultură din prima epocă a fierului (Hallstatt B3-C), întinsă pe 72 de ha, fortificată cu valuri și șanțuri, refolosită mai târziu, aparent doar pe o porțiune mai restrânsă, de către daci. În componența valului se află urmele unei structuri arse mai vechi – o palisadă cum consideră Marinescu<sup>50</sup>. Un singur complex este cunoscut de aici, respectiv o groapă identificată ca „rituală”, din prima epocă a fierului, cu vase sparte pe loc și arse secundar.

Și la Ciceu-Corabia *Măgura*, valul construit pe o lungime 400 m include o structură mai veche arsă. Șt. Ferenczi<sup>51</sup> considera pământul calcinat material de construcție pentru un val cu miez ars, pe când Vasiliev interpretează situația ca o palisadă arsă mai veche (construită ca un parapet casetat de bârne în care s-a tasat pământ) peste vestigiile căreia s-a construit un nou val dotat la exterior cu un rambleu-zid de piatră<sup>52</sup>. Fortificația a fost datată pe baza materialului ceramic în intervalul Hallstatt B2-C. În interiorul sitului a fost identificat un depozit de bronzuri din perioada Hallstatt B1-B2 precum și două posibile locuințe de suprafață formate din aglomerări de materiale asociate unor vetre. Remarcăm că în componența ambelor aglomerări de materiale, considerate de Vasiliev locuințe, se găsesc în mod neobișnuit pentru un astfel de context, și vase întregi, ceea ce pe noi ne face să ne gândim mai degrabă la contexte depoziționale. Situl a fost considerat așezare fortificată, un centru tribal cu rol de refugiu și de apărare din zona văilor Someșurilor.

<sup>48</sup> Vlassa, Dănilă 1962, 341-347; Marinescu 2010b, 67

<sup>49</sup> Vasiliev 1995, 89-124; Marinescu 2010b, 53-54.

<sup>50</sup> Marinescu 2010a, 4, 8.

<sup>51</sup> Ferenczi 1971, 77-80.

<sup>52</sup> Vasiliev 1995.

Subliniem că lentile de sol ars amestecate cu pietre sau cu cărbune, considerate de regulă palisade arse pe loc, au fost descoperite la baza unor valuri masive ulterioare într-o întreagă serie de situri caracterizate de utilizări intermitente în intervalul Ha B2 - început de Hallstatt D din spațiul intracarpatic: Dej Dealul Florilor, Subcetate-Sântămăria Orlea, Bozna Sălaj.<sup>53</sup>

Deși analogii pentru modul de construcție a incintelor și pentru plan se regăsesc mai ales în siturile din interiorul arcului carpatic din perioada de mijloc și de sfârșit a primei epoci a fierului (perioadă în care, de altfel, o primă amenajare a fortificațiilor de la Teliu poate fi atestată printr-o probă de radiocarbon – P9), proiectul final de amenajare a sitului, cel ale cărui vestigii impresionante se pot vedea încă (terase, valuri, șanțuri) datează din perioada târzie a celei de-a doua epoci a fierului. O probă datată cu radiocarbon (P8) din stratul ce marchează nivelul de amenajare al Valului 1 și o analiză stratigrafică susțin fără dubiu această concluzie, formulată anterior, de altfel, și de Alexandrescu și Pop. Analize cu radiocarbon se impun de altfel și în situri ca Sărățel pentru a stabili dacă nu cumva valul în care s-a înglobat depozitul de sol ars nu a fost ridicat tot în perioada târzie a celei de-a doua epoci a fierului.

La Cârломănești *Cetățuie* (jud. Buzău), pe Terasa I pe unde se făcea accesul spre sit, autorii au cercetat între 2005–2009 un sistem de fortificare format din mai multe linii (inclusiv un șanț și o palisadă cu șanț în W) din perioada sec. II–I a. Chr. din care făcea parte și o structură arsă până la vitrifiere (foarte probabil pe loc) provenind de la o palisadă localizată la baza unei pante.

Datarea confirmată cu radiocarbon a momentului de reamenajare a fortificației *Cetății Mari* de la Teliu, adaugă un argument suplimentar ideii anterior exprima-

<sup>53</sup> Vasiliev 1995

te<sup>54</sup> că în întreaga Depresiune a Brașovului, începând cu perioada augusteică, se pot remarca indicii ale unei intensificări a activităților cu relevanță simbolică, dar și demografică (depozite de piese prețioase, gropi cu depuneri, reocuparea unor puncte întărite folosite și în perioade mai vechi, refacerea zidurilor din piatră ale celui mai important sit întărit din zonă care este Cetatea Zânelor de la Covasna).

Cetatea Mare de la Teliu a fost vizitată intermitent în multiple momente pe

parcursul epocii bronzului și fierului, aparent funcționând ca un loc de atracție pentru comunitatea din zonă care s-a implicat prin derularea unor activități de amploare, de amenajare a reliefului, sub coordonarea unor autorități. Dacă scopul acestor lucrări a fost unul strict militar, iar solul ars rezultatul doar al incendiului unei palisade, considerăm că nu putem încă stabili cu precizie și că sunt necesare mai multe cercetări și dezbateri.

### Bibliografie / Bibliography

**Alexandrescu A. D. 1973.** Contribuții la cunoașterea populației autohtone în feudalismul timpuriu din Țara Birsei. *Cumidava* VII: 47-56.

**Alexandrescu A. D, Pop I.I. 1989.** Cetățuia dacică de la Teliu, jud. Brașov. *Cumidava* XIV, 1980: 10-22.

**Binder P. 1967.** Contribuții la localizarea Crucburgului și unele probleme legate de ea. *Cumidava* I: 124-125.

**Bronk Ramsey C. 2009.** Bayesian Analysis of Radiocarbon Dates. *Radiocarbon*, 51(1): 337-360. doi:10.1017/S0033822200033865

**Cavruc V. (ed.) 1998.** *Repertoriul Arheologic al Județului Covasna*, Sf. Gheorghe.

**Căpățână D., Teodor E.S., Ioniță A., Ciupercă B., Bădescu Al. 1998.** Cetatea de la Tabla Buții (com. Cerașu, jud. Prahova) – campaniile arheologice 1995-1996. *Materiale și Cercetări Arheologice* S.N. 4: 157-182.

**Costea F. 1995.** *Repertoriul Arheologic al Județului Brașov, Brașov*.

**DIR-C.** *Documente privind istoria României C, Transilvania, veacul XI, XII și XIII*, vol I (1075-1250), (eds: Ionașcu I., Lăzărescu-Ionescu L., Cămpina B., Stănescu E., Prodan D., Roller M.), București, 1951.

**Ferenczi Șt. 1971.** Contribuții la topografia arheologică a Culmii Ciceului. *File de Istorie* I: 73-83

**Horwath W. 1944.** Wallburgen aus dem Burzenlande, *Mitteilungen des Burzenländischen Sächsischen Museums* 5. Jg., Kronstadt: 36-39.

**Horwarth W. 1929.** Die Kreuzburg und der Bosauer Pass, *Das Burzenland* IV/1, Kronstadt: 47-55.

**Ioniță A. 2013.** Începuturile colonizării Țării Bârsei reflectate arheologic. *SCIVA* 64 (1-2): 121-132.

**Karczag A., Szabó T. 2012.** *Erdély, Partium és a Bánság erődített helyei. Várak, várkastélyok, városfalak, templomvárak, barlangvárak, sáncok és erődítmények a honfoglalástól a 19. század végéig*, Budapest.

**Kokalj Ž., Zakšek K., Oštir K. 2013.** Visualizations of lidar derived relief models. In R. Opitz, Cowley C. D. (eds.), *Interpreting archaeological topography – airborne laser scanning, aerial photographs and ground observation*, Oxford: 100-114.

**Marinescu G. 2010a.** *Prima epocă a fierului (Hallstatt) în bazinul Someșului Mare*. Rezumatul Tezei de doctorat. Universitatea „1 Decembrie 1918” Alba Iulia, Alba Iulia.

**Marinescu G. 2010b.** Vestigii hallstattiene timpurii și mijlocii din nord-estul Transilvaniei/ *Vestiges d’Hallstatt précoce et moyen du Nord-est de la Transylvanie*. *Revista Bistriței* XXIV: 41-128.

**Marțian J. 1909,** *Archäologisch-prähistorisches Repertorium für Siebenbürgen*, Wien

**Marțian I. 1921,** *Urme din războaiele romanilor cu dacii*, Cluj

<sup>54</sup> Ștefan et alii. 2018

**Orbán B. 1873.** *A Székelyföld leírása történelmi, régészeti, természetrajzi s népismej szempontból.* VI. Háromszék, Pest, 64-66.

**Ștefan M. M., Ștefan D., Buzea D.L. 2015.** *Studii de arheologie aeriană în situri dacice din sud-estul Transilvaniei.* *ANGUSTIA* 19: 133-162.

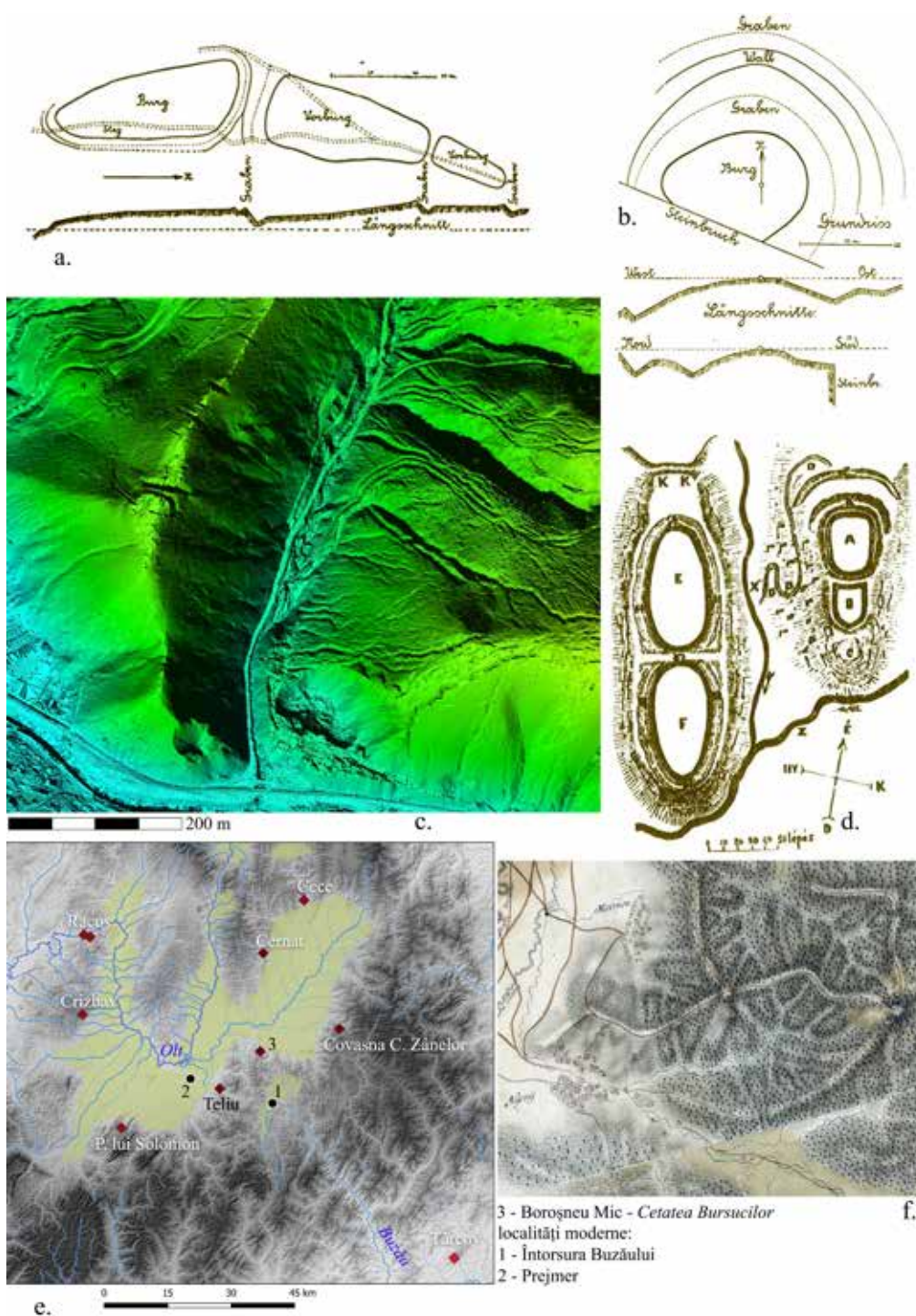
**Ștefan M. M., Ștefan D. 2019.** Connected peripheries - North Danube Thrace in the 4th-3rd centuries BC. Exploring settlement patterns in the environs of the ostentatious grave of Petru. *Peuce S.N.* XVII: 27-98.

**Ștefan M. M., Buzea D., Ștefan D., Kovacs A., Puskas J., 2018.** Raport preliminar asupra

cercetărilor desfășurate la Reci-Doboika, jud. Covasna, un sit cu depuneri în gropi din epoca fierului/*Preliminary report on the researches in Reci-Doboika (Covasna county) a 1st millennium BC site with deposits in pits.* *Angustia* XXII: 137-167.

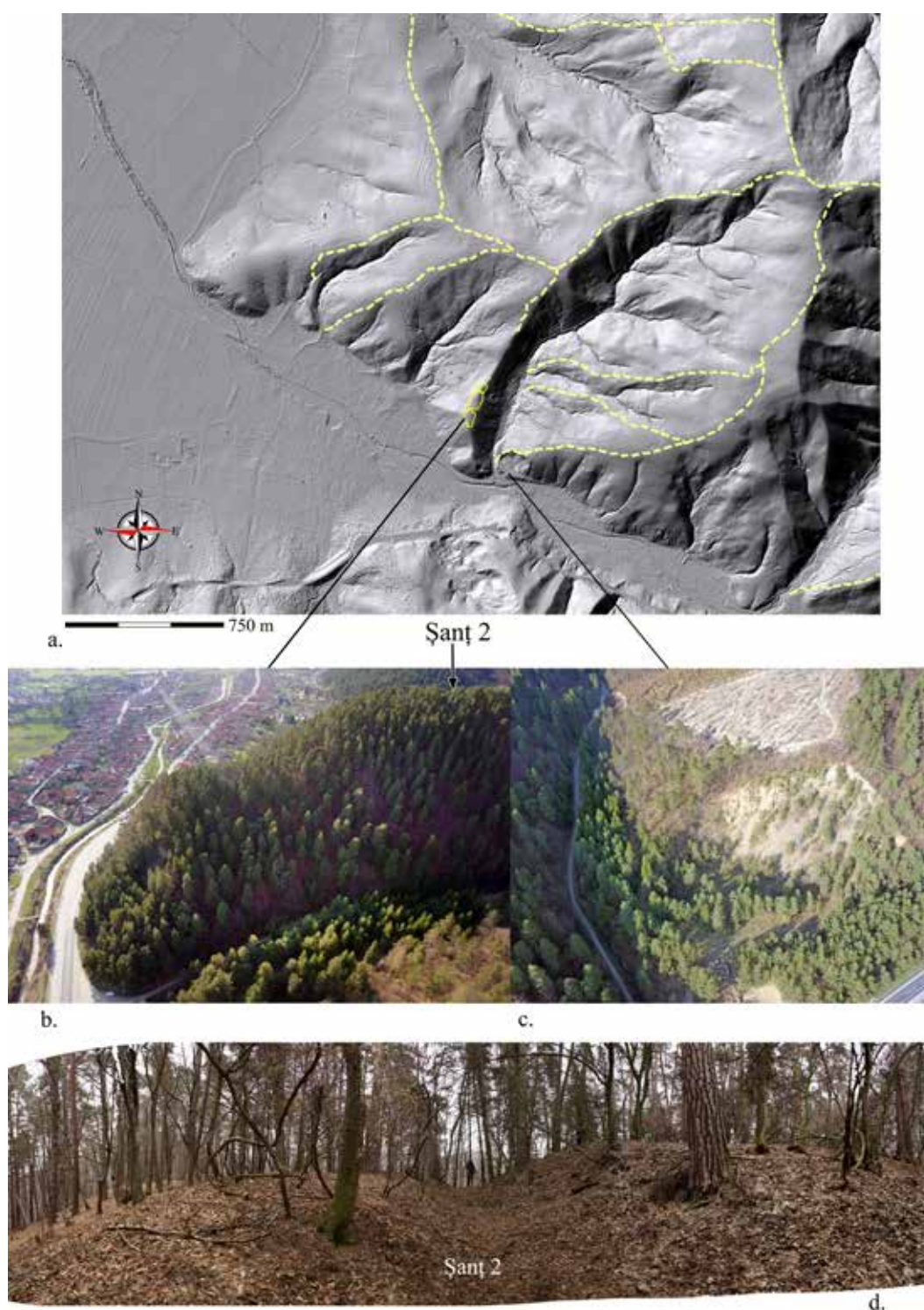
**Vasiliev V. 1995.** *Fortifications de refuge et établissements fortifiés du premier âge du fer en Transylvanie.* Bucarest: Institut roumain de thracologie.

**Vlassa N., Dănilă Șt. 1962.** Săpăturile arheologice de la Sărățel. *Materiale și Cercetări Arheologice VIII:* 341-348

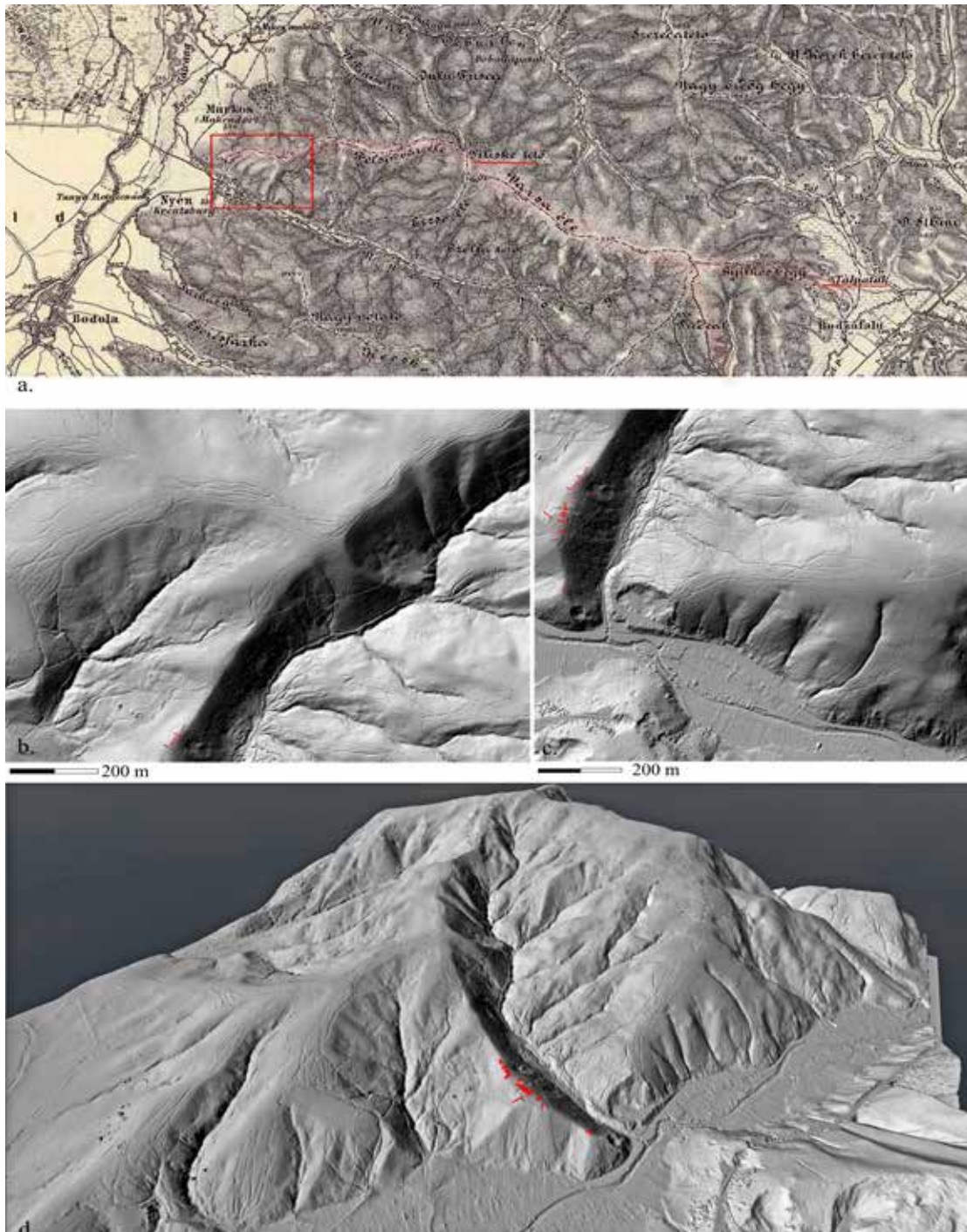


**Fig. 1** a – Teliu *Cetatea Mare* (I) și b – Teliu *Cetatea Mică* (II) (Horwarth 1940: 36-37, fig. 19-20); c – model digital al terenului obținut prin interpolarea datelor LiDAR; d – planul siturilor (Orban Balazs 1868); e – harta siturilor fortificate (sec. I a. Chr. – I p. Chr.); f – detaliu din Prima Ridicare Topografică Austriacă (sec. XVIII) ce arată drumul de culme ce leagă Prejmer de Întorsura Buzăului prin culmea Pilișca.

**Fig. 1** c - DEM based on LiDAR data; d – fortifications drawn by Orban Balazs (1868); e – map with 1st c. BC-1st c. AD fortified sites; f - detail of the First Austrian Military Survey (18<sup>th</sup> c.) depicting the ridge pathway to Întorsura Buzăului.

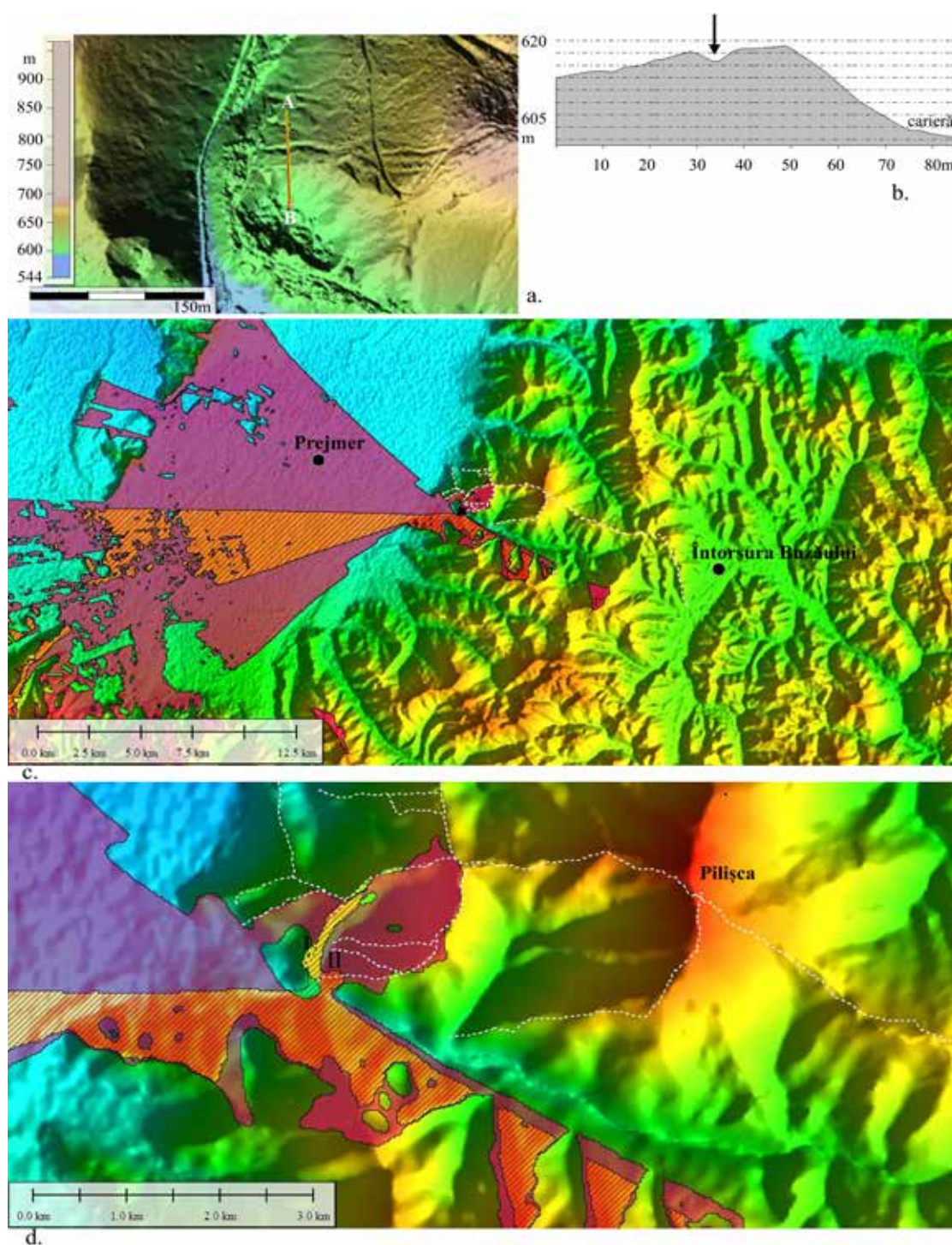


**Fig. 2 a** – LiDAR DEM (hillshading) cu principalele rute de circulație ce urmează culmile marcate; **b** – Cetatea Mare imagine aeriană spre vest; **c** – imagine aeriană a carierei ce a distrus Cetatea Mică, vedere spre nord (aprilie 2015); **d** – Șanțul 2, spre est (februarie 2019).  
**Fig. 2 a** - The main ridge routes used for circulation were marked; **b** - aerial view towards West; **c** - aerial view towards North of the quarry that had destroyed Cetatea Mică; **d** - Ditch 2 towards East (February 2019).



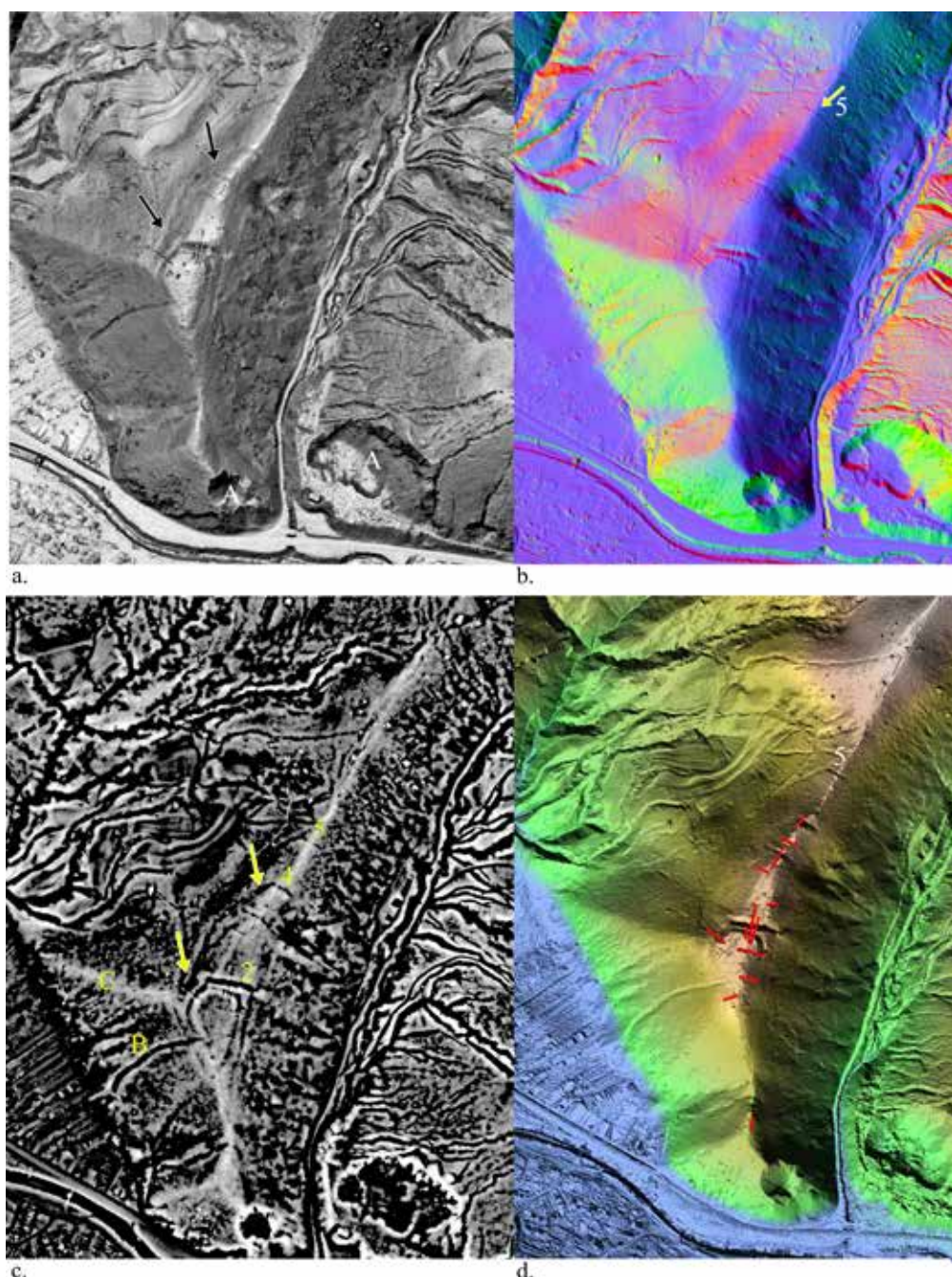
**Fig. 3 a** – A treia Ridicare Topografică Austriacă (1:75000), sec. XIX, pe care apare drumul de culme ce leagă, prin Pilișca, Prejmer de Brădet; dreptunghiul roșu marchează zona ilustrată la b-d - d vederi ale modelului de teren LiDAR pe care au fost marcate cu roșu secțiunile din anii 1960-1970.

**Fig. 3 a** - 3rd Austrian Military Map, 19th c. on which the road to Brădet through Pilișca peak was depicted; the red rectangle indicates the area illustrated with LIDAR DEM in b-d on top of which archaeological trenches 1960-1970s were emphasized, also in red.



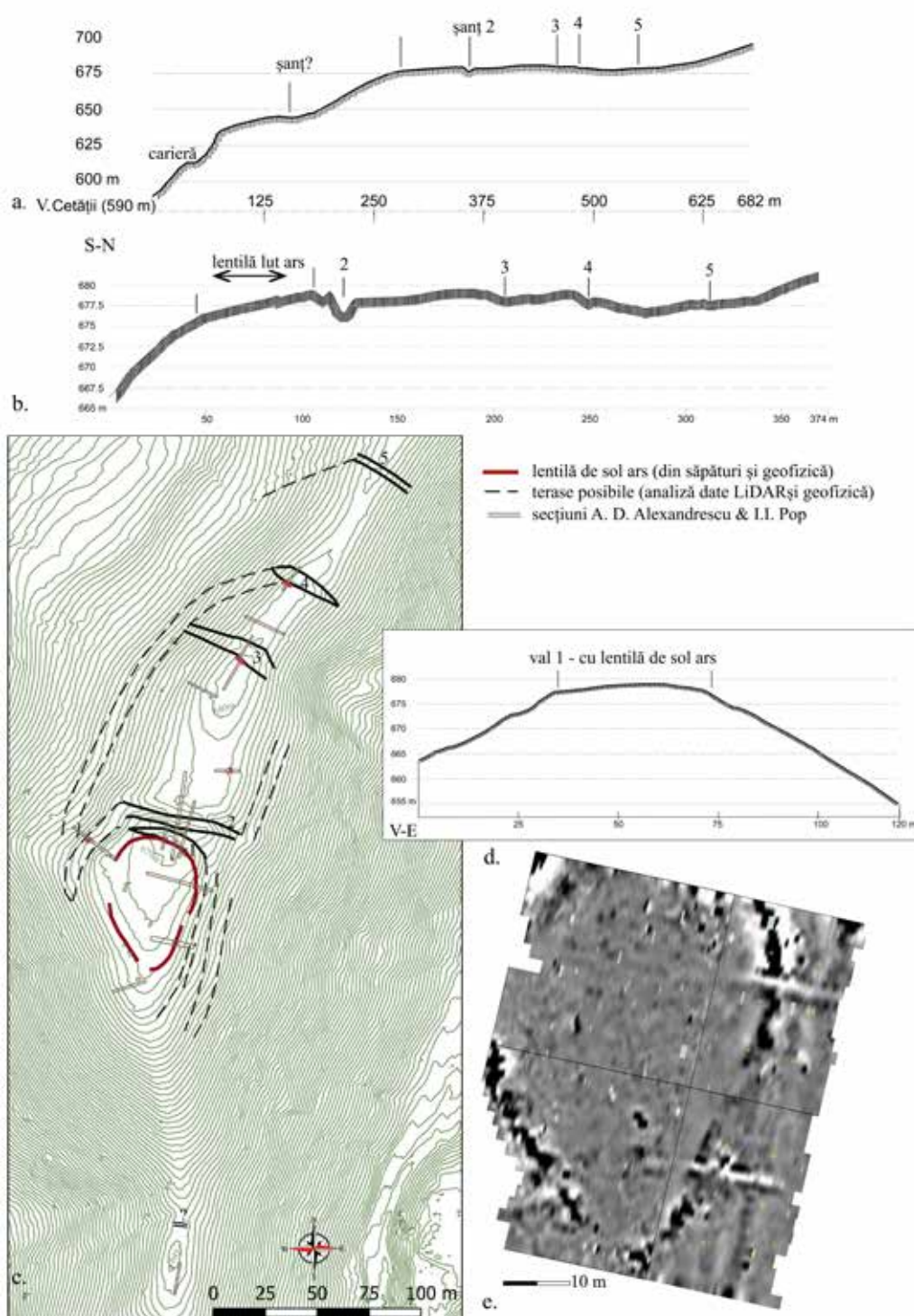
**Fig. 4 a** – Detaliu din datele LiDAR interpolate în zona Cetatea Mică (II) distrusă de o carieră cu amplasarea profilului altimetric de la b; c-d – calcul al ariei de vizibilitate din Cetatea Mare (I) cu roz și Cetatea Mică (II) cu hașură, pe datele EU-DEM.

**Fig. 4 a** LiDAR data in the area of Cetatea Mică (II) destroyed by a stone quarry, with location of the elevation profile AB depicted in b; c-d viewshed analysis from Cetatea mare (I) in pink and Cetatea Mică (II) as hatch, on EU-DEM.



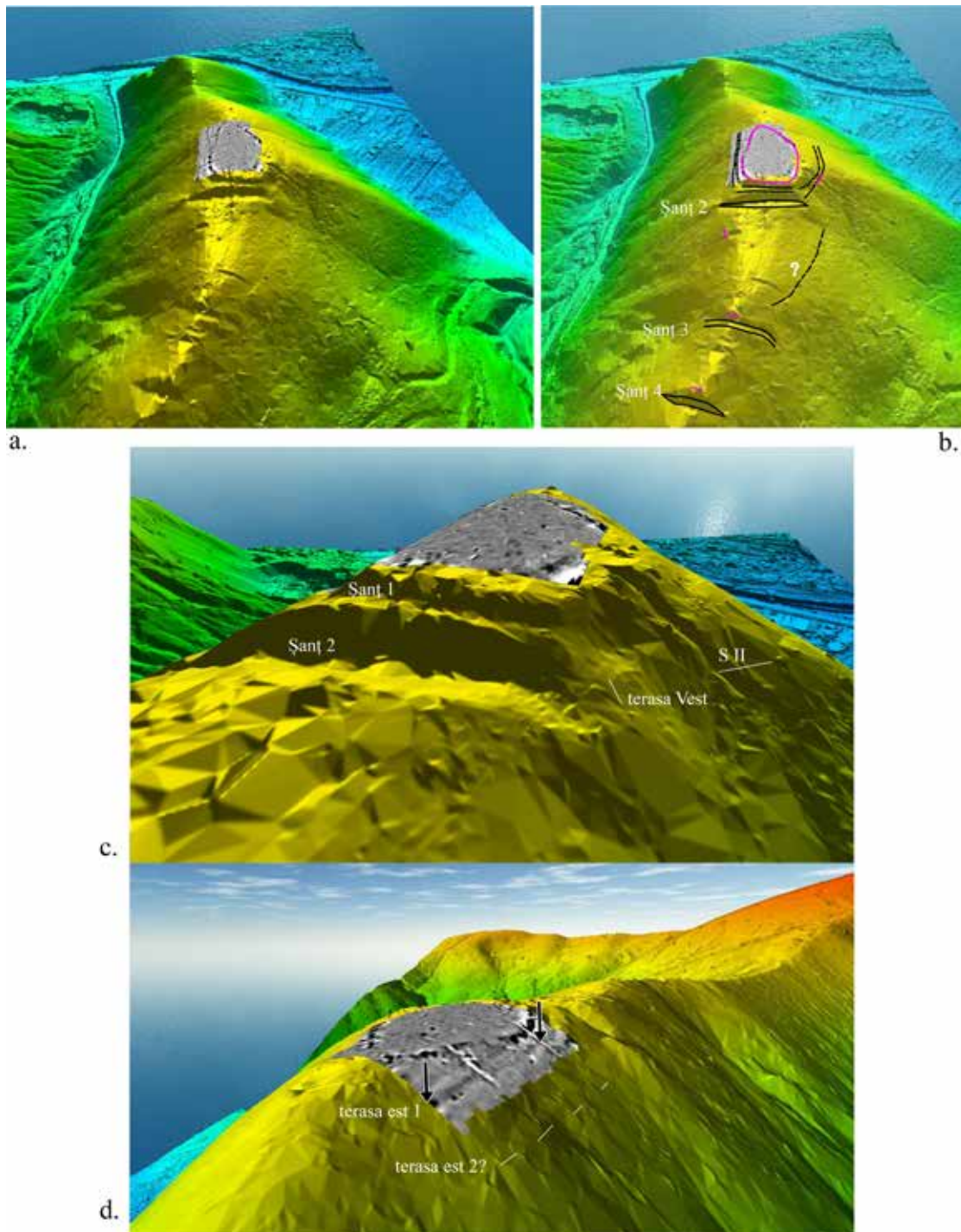
**Fig. 5** Prelucrări ale datelor LiDAR: a – Sky-view Factor; b – Principal Component Analysis; c – Simple Relief Model; d – interpolarea *datelor XYZ*; cu roșu – secțiuni vechi; săgețile galbene în c și negre în a indică traseul unor anomalii lineare interpretate ca terase antropice; C – cale de acces secundară pe o culme spre *Cetatea Mare* dinspre depresiune; B – un șanț, posibil al unui torent (?) Cifrele arabe indică numerotarea șanțurilor; 5 – șanț nou identificat în capătul nordic al sitului.

**Fig. 5** Visualization of LiDAR data; red - old trenches; yellow arrows in c and black arrows in a indicate the outline of anthropic terraces; C – secondary access ridge route linking *Cetatea Mare* with the lower lands; B – a torrent (?) Roman numerals tag the ditches; 5 – a new ditch identified in the northern site sector.

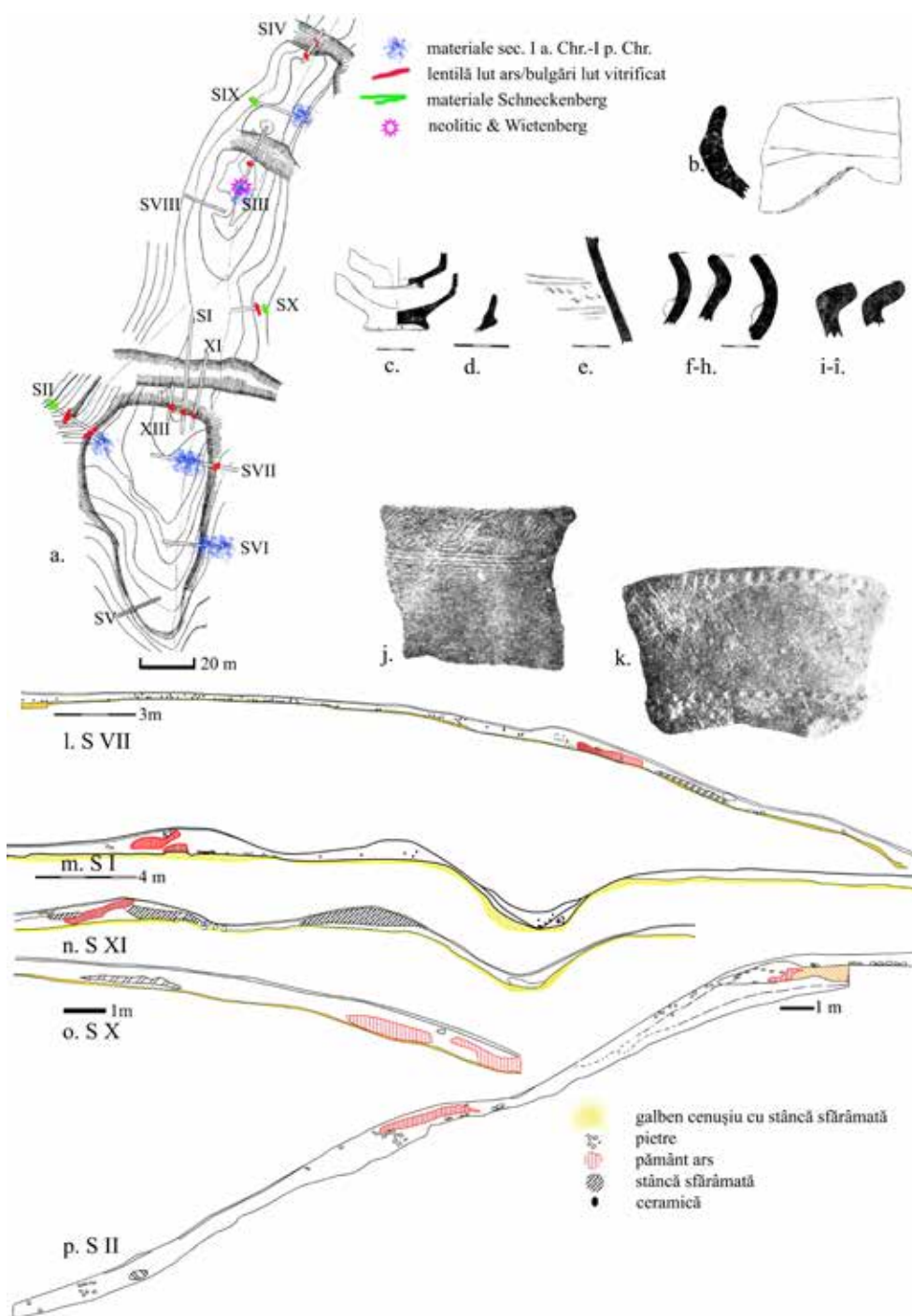


**Fig. 6** Cetatea Mare: c – planul sitului pe baza analizei datelor LiDAR și a magnetometriei (e), cu curbele de nivel la interval de 1 m; a-b – profile altimetrice S-N prin sit; d – profil altimetric V-E prin sectorul III, cel sudic; profilele altimetrice s-au calculat pe baza datelor LiDAR.

**Fig. 6** c – site plan deduced based on LIDAR and magnetic data (e), contour interval of 1 m; a-b – elevation profiles (S-N); d – elevation profile through the southern plateau (W-E); elevation profiles were calculated on LiDAR data.

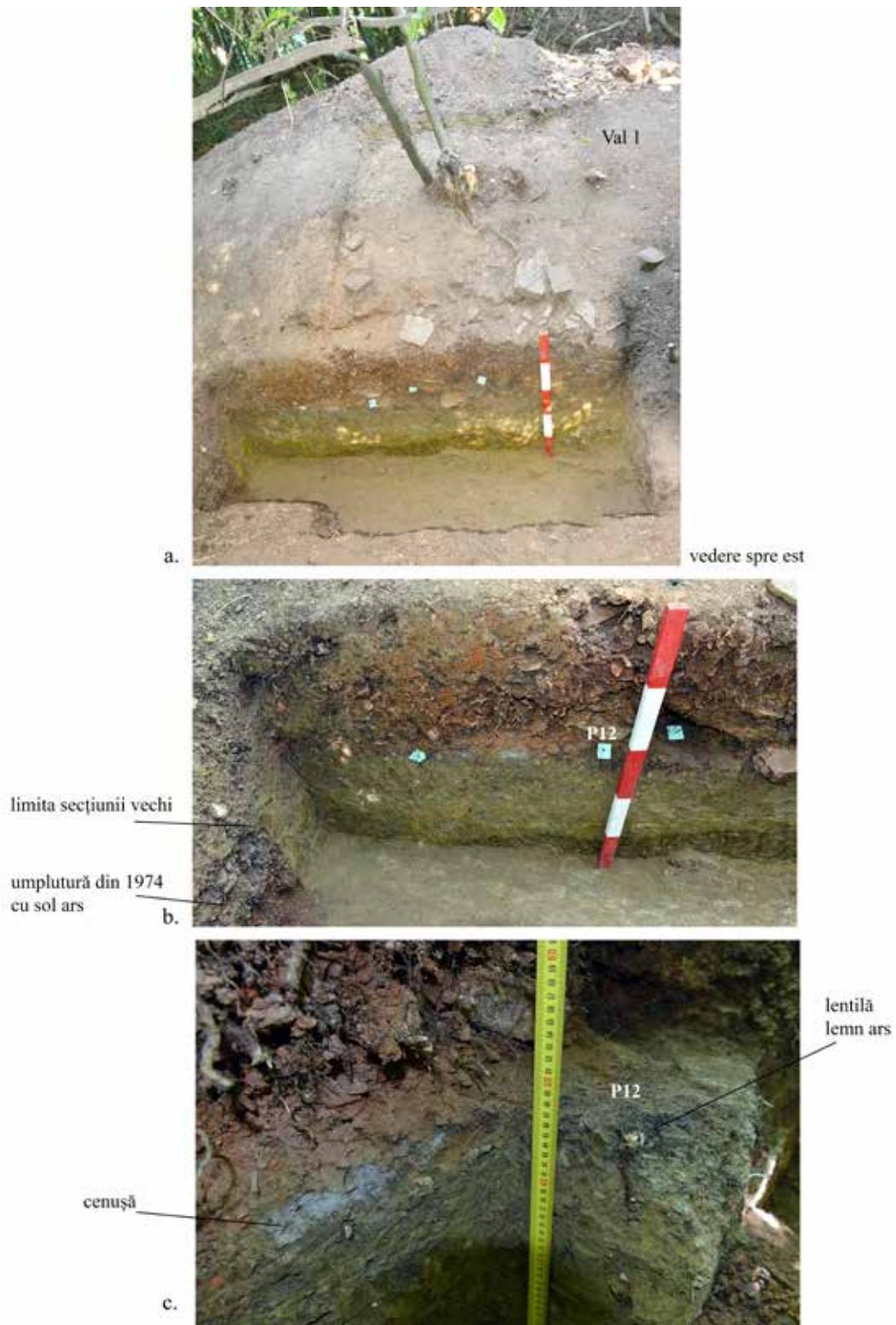


**Fig. 7** Vederi 3D ale Cetății Mari (date LiDAR interpolate, magnetometrie integrată):  
a-b vedere spre sud; c – vedere spre sud-est a sectorului sudic; d – vedere spre nord-vest.  
**Fig. 7** 3D views of Cetatea Mare (interpolated LiDAR data with magnetic plot georeferenced):  
a-b views towards South; c – view towards southeast of the southern plateau;  
d – view towards Northwest.



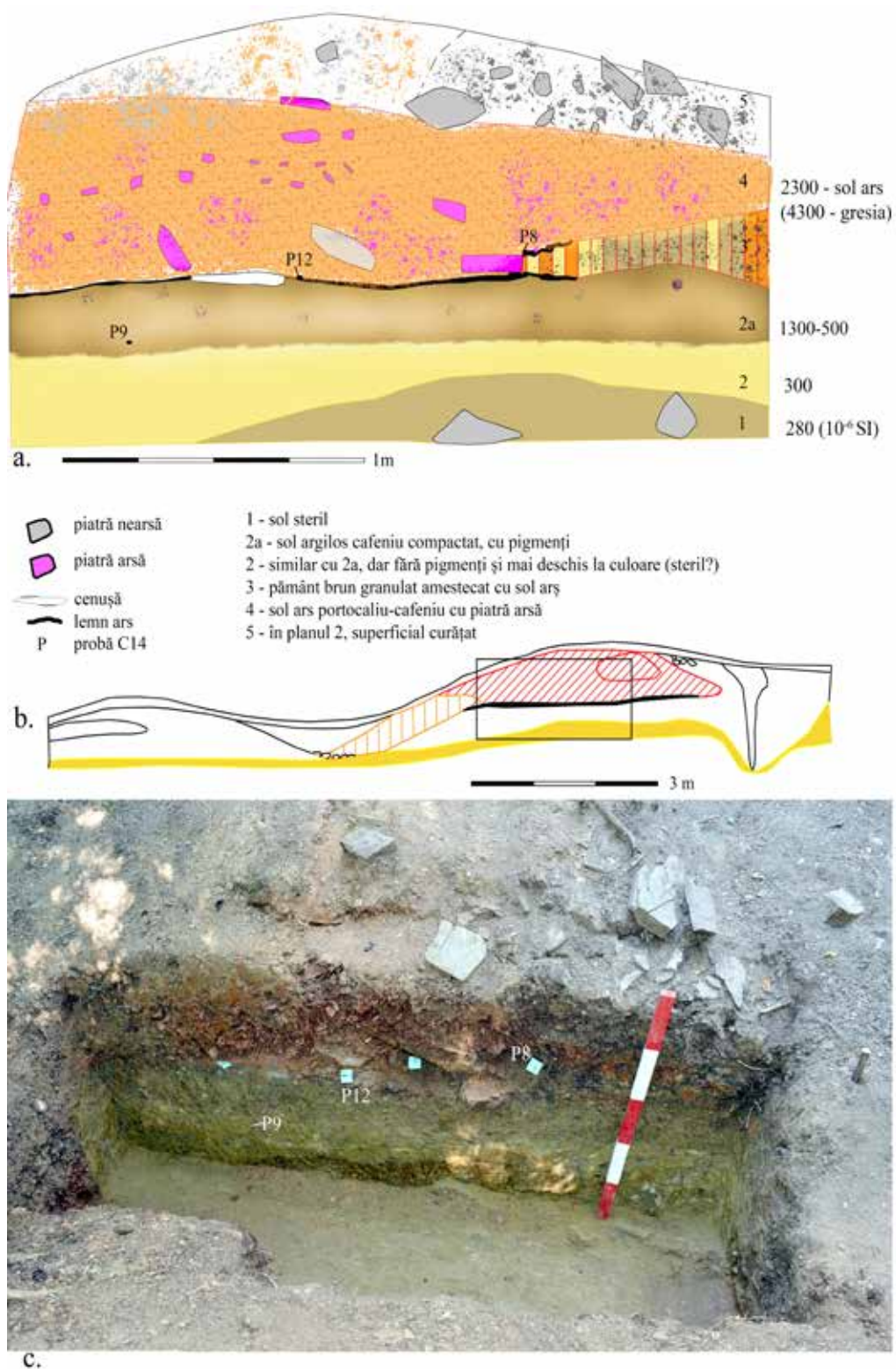
**Fig. 8 a** - Planul sitului și al săpăturilor (după Alexandrescu, Pop 1989, fig. 4), pe care am marcat distribuția materialelor conform descrierilor din text; c-k - ceramică publicată de Alexandrescu, Pop 1989, 28, 31, 31, 38, 40, fig. 10, 13, 14, 20, 22, 23; scări precizate acolo unde au fost disponibile; b - prima epocă a fierului; b-i epoca târzie a fierului; j - medieval; k - Schneckenberg; l-p profile redesenate după Alexandrescu, Pop 1989, 24-25, fig. 5-6.

**Fig. 8 a** - site plan (1989) on which the distribution of pottery according to text description was signalled; c-k - pottery; scales given when available; b - Hallstatt; b-i - late 2nd Iron Age; j - Medieval; k - Schneckenberg; l-p sections redrawn after Alexandrescu, Pop 1989.



**Fig. 9** Cetatea Mare: a – vedere a secțiunii S XIII spre nord, august 2019;  
b – vedere a S XIII după curățare; c – vedere spre est a S XI tăind Șanțul 2.

**Fig. 9** View of trench S XIII (towards North) before vegetation cleaning, in august 2019; b - view of S XIII after cleaning, before excavation; c - view towards East of trench S XI cutting Ditch 2.



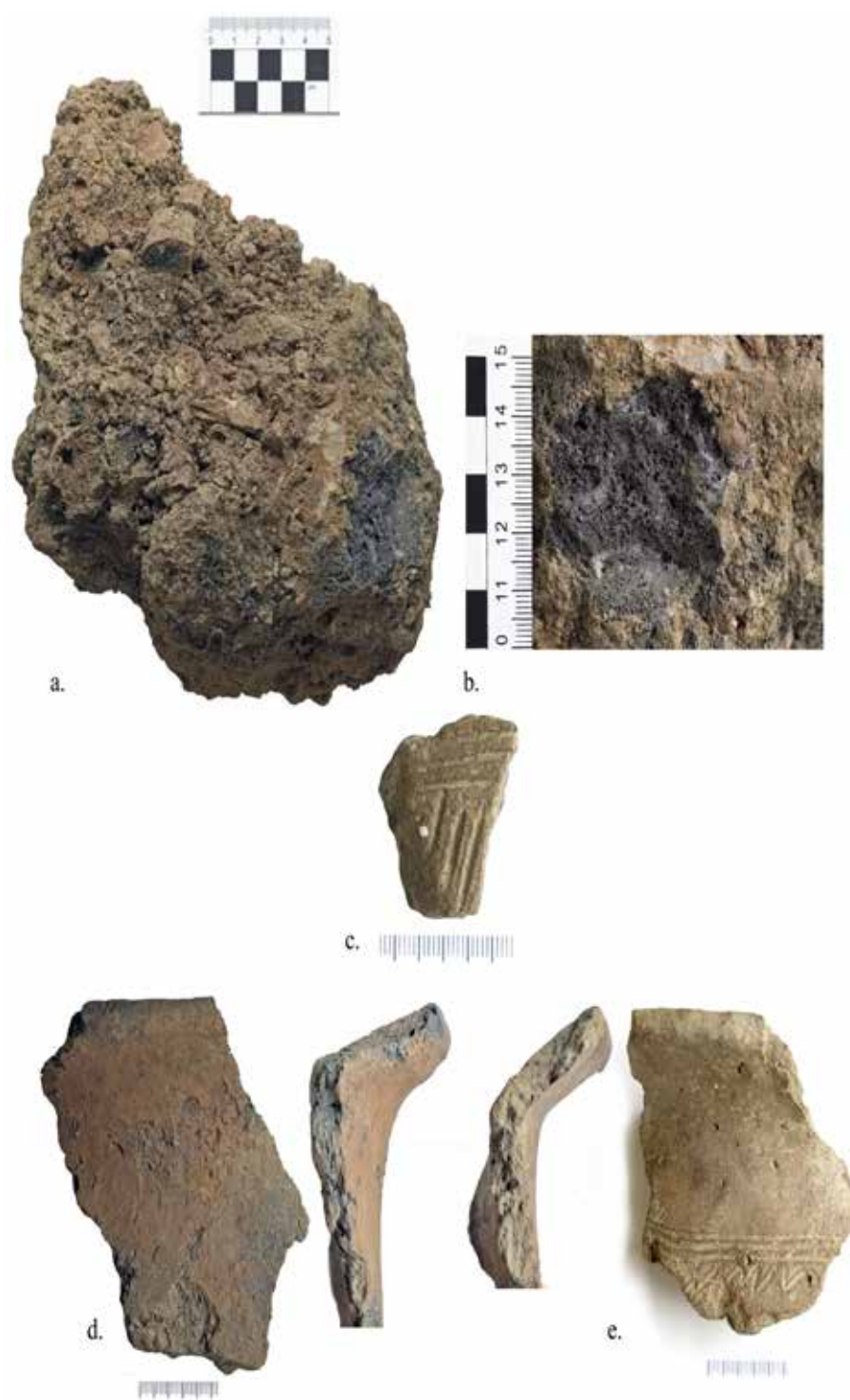
**Fig. 10** Sondajul deschis în august 2019 la baza S XIII:  
a-c profilul estic cu poziția probelor datate cu C14.

**Fig. 10** Trial trench august 2019 – reopening of S XIII:  
a-c eastern profile with location of samples dated with C14.



**Fig. 11** Sondajul deschis în august 2019 la baza S XIII- profil estic cu poziția probelor datate cu C14 semnalizată (a, c); b – plasarea sondajului pe profilul secțiunii vechi, redesenat după Alexandrescu, Pop 1989, 24, fig. 5; roșu și portocaliu – sol ars diferite intensități, lentilă neagră – cărbune.

**Fig. 11** Trial trench opened in august 2019 – eastern profile with location of samples dated with C14 (a, c); b - location of 2019 trial trench on the old excavation profile redrawn after Alexandrescu, Pop 1989, 24, fig. 5/3; red and orange – burnt soil, solid black – charcoal.



**Fig. 12** Materiale descoperite în august 2019 pe platoul sudic al *Cetății Mari*: a-b – bolovan de pământ ars descoperit în poziție secundară, în S XIII (3000 x 10-6 S); c - fragment ceramic descoperit sub Valul 1, în S XIII; d-e ceramică sec. I p. Chr. descoperită la suprafață sitului.

**Fig. 12** Materials found in august 2019 in the southern sector of *Cetatea Mare*: a-b - burnt soil found in secondary position in S XIII (3000 x 10-6 SI); c – pottery fragment found under Rampart 1 in S XIII; d-e - 1st c. AD handmade pottery found on site surface, southern sector.